



Research Article

Vol. 14, No. 4, 2024, p. 405-427

Comparison and Evaluation of Common Orchard Sprayers with Variable-rate Sprayers

R. Fathi¹, M. Ghasemi-Nejad Raeini^{1*}, S. Abdanan Mehdizadeh¹, M. Taki¹, M. Mardani Najafabadi¹³

1- PhD Student in Agricultural Mechanization, Department of Agricultural Machinery and Mechanization Engineering, Faculty of Agricultural Engineering and Rural Development, Agricultural Sciences and Natural Resources University of Khuzestan, Mollasani, Iran

2- Associate Professor, Department of Agricultural Machinery and Mechanization Engineering, Faculty of Agricultural Engineering and Rural Development, Agricultural Sciences and Natural Resources University of Khuzestan, Mollasani, Iran

3- Associate Professor, Department of Agricultural Economics, Faculty of Agricultural Engineering and Rural Development, Agricultural Sciences and Natural Resources University of Khuzestan, Mollasani, Iran

(*- Corresponding Author Email: ghasemi.n.m@asnrukh.ac.ir)

Received: 26 October 2023

Revised: 25 December 2023

Accepted: 30 December 2023

Available Online: 07 October 2024

How to cite this article:

Fathi, R., Ghasemi-Nejad Raeini, M., Abdanan Mehdizadeh, S., Taki, M., & Mardani Najafabadi, M. (2024). Comparison and Evaluation of Common Orchard Sprayers with Variable-rate Sprayers. *Journal of Agricultural Machinery*, 14(4), 405-427. (in Persian with English abstract). <https://doi.org/10.22067/jam.2023.84946.1198>

Introduction

Innovative technologies, such as smart sprayers, are pivotal catalysts for modernizing the agricultural sector and play an indispensable role in providing food for human consumption. Without the utilization of these technologies and the implementation of proper input management, it is predicted that environmental impacts will worsen in the future. Attaining sustainable production while implementing programs to ensure food security, presents a considerable challenge for researchers and policymakers worldwide. In this research, the performance of a fixed-rate orchard sprayer was evaluated. Employing various equipment, the sprayer was then upgraded to a variable-rate sprayer, and its performance was reevaluated and compared to the fixed-rate model.

Material and Methods

This research comprehensively evaluated a fixed-rate orchard sprayer and subsequently upgraded it to a variable-rate sprayer for further assessment. The primary components of the developed variable-rate sprayer consist of an ON-OFF solenoid valve, a digital camera for imaging purposes, an ultrasonic sensor, a flow meter, and a control circuit. Necessary modifications were implemented on a fixed-rate turbine sprayer. The development of the variable-rate sprayer was divided into two distinct phases. The initial phase involved determining the canopy volume and acquiring the necessary information pertaining to the spraying target, specifically the tree. The subsequent phase focused on decision-making and control of the spraying rate, thereby facilitating variable-rate application. Upon laboratory examination of the samples, spectroscopic results were obtained, and the total concentration of the pesticide solution was calculated across different sections of a one-hectare orange orchard. An investigation into the sedimentation of the pesticide solution was conducted across different treatments in two spraying modes, namely variable-rate and fixed-rate, at three distinct speeds: low (1.6 km h^{-1}), medium (3.2 km h^{-1}), and high (4.8 km h^{-1}) resulting in six treatments.

Results and Discussion



©2024 The author(s). This is an open access article distributed under [Creative Commons Attribution 4.0 International License \(CC BY 4.0\)](#).

<https://doi.org/10.22067/jam.2023.84946.1198>

The comparative analysis of average pesticide deposition on trees revealed a significant difference between the two spraying modes: variable-rate and fixed-rate. All indicators demonstrate that the type of sprayer and the spraying speed significantly influence changes in pesticide deposition across different treatments. However, the interaction effect of the type of sprayer and the speed of spraying did not significantly impact the amount of pesticide deposition on the trees or the total consumption of pesticide per hectare. The results indicated that neither the type of sprayer, nor the speed of spraying, nor their interaction had a significant effect on the spraying quality index. Furthermore, the numerical median diameter and volume median diameter were not significantly different across the treatments.

The maximum pesticide consumption savings in the variable-rate spraying mode was 46%, achieved at a speed of 1.6 km h^{-1} . The maximum efficiency was 70% in the variable-rate spraying mode, occurring at a speed of 3.2 km h^{-1} . The lowest amount of pesticide deposition on the canopy of trees was observed in the variable-rate spraying method at the speed of 4.8 km h^{-1} (1303 L ha^{-1}), and the highest amount of deposition occurred in the fixed-rate spraying at the speed of 1.6 km h^{-1} (2121 L ha^{-1}). The highest amount of pesticide release in the air was also calculated in the fixed-rate spraying mode with a speed of km h^{-1} (241 L ha^{-1}) and the lowest value was calculated in the variable-rate spraying mode with a speed of 3.2 km h^{-1} .

Conclusion

Emerging technologies, such as smart sprayers, play a crucial role in enhancing the productivity of the agricultural sector. If these technologies are not utilized, the challenges related to the sustainability of production will likely increase in the future. One of the critical operations in agricultural production is the spraying phase. In this research, a fixed-rate sprayer was upgraded to a variable-rate sprayer. Both sprayers were evaluated, and the results of this evaluation were used to compare the two spraying systems. The findings revealed that, due to real-time control of pesticide application based on canopy volume detection in the variable-rate sprayer, pesticide consumption was reduced by 46% at an optimal speed of 1.6 km h^{-1} , achieving 70% efficiency. In all studied treatments, both the type of sprayer and the speed of spraying significantly affected changes in pesticide deposition. However, the interaction between the type of sprayer and the speed of spraying did not significantly impact the amount of pesticide deposition on trees or total pesticide consumption per hectare. There was no significant difference in the coverage percentage of pesticide deposition on targets across different treatments, with the best spraying quality observed in variable-rate spraying at a speed of 4.8 km h^{-1} . By utilizing a variable-rate sprayer, costs associated with chemical pesticide consumption and spraying can be reduced, while also minimizing toxic emissions that contribute to environmental pollution. Future research should focus on developing a variable-rate system based on independent nozzles, allowing for real-time control of each nozzle's spraying.

Keywords: Energy, Environment, Sprayer, Variable rate technology

مقاله پژوهشی

جلد ۱۴، شماره ۴، زمستان ۱۴۰۳، ص ۴۲۷-۴۰۵

مقایسه و ارزیابی سمپاش‌های متداول باعی با سمپاش‌های مجهرز به فناوری نرخ متغیر

رسنم فتحی^۱، محمود قاسمی‌نژاد رائینی^{۲*}، سامان آبدانان مهدی‌زاده^۲، مرتضی تاکی^۲، مصطفی مردانی نجف‌آبادی^۲

تاریخ دریافت: ۱۴۰۲/۰۸/۰۴

تاریخ پذیرش: ۱۴۰۲/۱۰/۹

چکیده

فن‌آوری‌های جدید مانند سمپاش‌های هوشمند، از مهم‌ترین عوامل تحول در بخش کشاورزی هستند. در این تحقیق یک سمپاش باعی نرخ ثابت به یک سمپاش باعی نرخ متغیر توسعه داده شد و مورد ارزیابی و مقایسه قرار گرفت. بررسی مقدار نشست سم در دو حالت سمپاشی نرخ متغیر و نرخ ثابت و در سه سرعت پیشروی کم (۱/۶)، متوسط (۳/۲) و زیاد (۴/۸ کیلومتر بر ساعت) انجام شد. کم‌ترین مقدار نشست سم روی درختان به ترتیب در حالت سمپاشی نرخ متغیر در سرعت پیشروی ۴/۸ لیتر در هکتار و بیش‌ترین مقدار نشست در حالت سمپاشی نرخ ثابت در سرعت پیشروی ۱۳۰/۳ لیتر در هکتار (۲۱۲۱ لیتر در هکتار) به دست آمد. نتایج آزمون تجزیه واریانس برای مقدار نشست سم روی درختان، زیمن، انتشار در هوا، کل مصرف سم در هکتار و کارایی پاشش نشان داد که مقدار این شاخص‌ها در دو حالت سمپاشی نرخ متغیر و نرخ ثابت دارای تفاوت معنی‌داری بود. در همه‌ی شاخص‌ها نوع سمپاش و سرعت پیشروی سمپاشی، اثر معنی‌داری بر تغییرات مقدار نشست سم در تیماره‌ای مختلف داشت. نتایج نشان داد که نوع سمپاش، سرعت پیشروی و اثر متقابل این دو عامل اثر معنی‌داری بر شاخص کیفیت پاشش نداشت. قطر میانه عددی و قطر میانه حجمی نیز در همه‌ی تیماره‌ها تفاوت معنی‌داری نداشت. حداقل مقدار صرفه‌جویی مصرف سم (۴۶ درصد) در حالت سمپاشی نرخ متغیر و در سرعت پیشروی ۱/۶ کیلومتر بر ساعت و بیشترین مقدار کارایی پاشش (۷۰ درصد) در حالت سمپاشی نرخ متغیر و در سرعت پیشروی ۱/۸ کیلومتر بر ساعت به دست آمد.

واژه‌های کلیدی: انرژی، سمپاش، فناوری نرخ متغیر، محیط‌زیست

مقدمه

محققان گزارش کردند که فن‌آوری‌های نوین نقش مهمی در افزایش بهره‌وری و توسعه‌ی بخش کشاورزی دارند و در صورت عدم دستیابی و استفاده از این فن‌آوری‌ها برای مدیریت صحیح نهاده‌ها، اثرات زیست‌محیطی در آینده بیش‌ازپیش افزایش می‌یابد (Springmann *et al.*, 2018). بهمین منظور در کشورهای توسعه‌یافته سامانه‌های تولید محصولات کشاورزی به دلیل استفاده از فن‌آوری‌های نوین بهبود پیدا کرده و تغییرات قابل توجهی در نحوه‌ی مصرف و جریان انرژی برای تولید محصولات مختلف ایجاد شده است (Baran, Lüle, & Gökdoğan, 2017). از طرفی دیگر

بحران‌های زیست‌محیطی و تخریب منابع، بر امنیت غذایی در سراسر جهان، تأثیر نامطلوب گذاشته است (Yadav *et al.*, 2019). از این‌رو همزمان با اجرای برنامه‌ها برای تأمین امنیت غذایی، دستیابی به پایداری تولید یک چالش بزرگ برای محققان و سیاست‌گذاران (El Bilali, Callenius, Strassner, & Probst, 2018) کشورها است. بنابراین نیاز به درک جامعی برای مدیریت موضوعات زیست‌محیطی، انرژی و اقتصادی در همه‌ی بخش‌ها در تولید محصولات کشاورزی وجود دارد (Ciacci & Passarini, 2020). یکی از مراحل مهم در تولید محصولات کشاورزی، مرحله داشت و کاربرد سمپاش‌ها در این مرحله است. استفاده از سموم شیمیایی با کارایی بالا در تولید محصولات کشاورزی موضوعی اجتناب‌ناپذیر و مهم است (Ilici & Boz, 2018). در واقع سمپاشی به عنوان یک راه حل مشترک به منظور افزایش عملکرد و به دست آوردن محصولات با کیفیت بالاتر در زراعت و باغبانی استفاده می‌شود و یک بخش اساسی از عملیات کشاورزی است (Dou *et al.*, 2018). در کشاورزی سنتی برای انجام سمپاش از سمپاش‌های معمولی و دارای نرخ پاشش ثابت استفاده می‌شود (Asaei, Jafari, 2019 & Loghavi, 2019). استفاده از سمپاش‌های سنتی و دارای نرخ پاشش ثابت، سموم شیمیایی را بدون توجه به سطح سبز و تراکم

۱- دانشجوی دکترای مکانیزاسیون کشاورزی، دانشکده مهندسی زراعی و عمران، روستایی، دانشگاه علوم کشاورزی و منابع طبیعی خوزستان، ملاثانی، خوزستان، ایران.

۲- دانشیار گروه مهندسی ماشین‌های کشاورزی و مکانیزاسیون، دانشکده مهندسی زراعی و عمران روستایی، دانشگاه علوم کشاورزی و منابع طبیعی خوزستان، ملاثانی، خوزستان، ایران.

۳- دانشیار گروه اقتصاد کشاورزی، دانشکده مهندسی زراعی و عمران روستایی، دانشگاه علوم کشاورزی و منابع طبیعی خوزستان، ملاثانی، خوزستان، ایران (Email: ghasemi.n.m@asnrukh.ac.ir)

**- نویسنده مسئول: <https://doi.org/10.22067/jam.2023.84946.1198>

مبتنی بر حس‌گر اولتراسونیک^۴ را توسعه داده و ارزیابی کردند. نتایج نشان داد که نازل توربوبو^۵ در مقایسه با نازل مخروطی توالی دارای عملکرد بهتری بود. استفاده از سمپاش با نازل توربوبو، منجر به پوشش ۴۷٪/۴۱٪ مناطق هدف شد. در پژوهشی دیگر یک سمپاش نرخ متغیر برای تنظیم خودکار خروجی محلول سم در زمان واقعی، با توجه به اندازه، شکل و تراکم شاخ و برگ درخت توسعه داده شد و کیفیت نشست قطرات سمپاشی مورد آزمایش قرار گرفت. پوشش محلول سم بیش از ۱۵٪ روی کاغذهای حساس به آب، نشست کافی سم روی مناطق هدف را نشان داد (Shen, Zhu, Liu, Chen, & Ozkan, 2017). در پژوهشی دیگر چن و همکاران (Chen, Wallhead, 2017) در پژوهشی دیگر چن و همکاران (Reding, Horst, & Zhu, 2020) یک سمپاش هوشمند نرخ متغیر با هدایت لیزر را برای کاهش مصرف سmom توسعه دادند. نتایج نشان داد که مصرف سmom دفع آفات با استفاده از سمپاش نرخ متغیر، کاهش قابل ملاحظه‌ای داشت. در تحقیق دیگر با استفاده از سمپاش نرخ متغیر، کاهش مصرف سم در باغات انگور ۳۰٪ برآورد شد (Berenstein, Shahar, Shapiro, & Edan, 2010). لورنس و همکاران (Llorens, Gil, Llop, & Escolà, 2010) نیز با استفاده از روش سمپاشی نرخ متغیر، صرفه‌جویی در مصرف سmom دفع آفات را ۵۸٪ محاسبه نمودند و بیان کردند که در سمپاش نرخ متغیر در مقایسه با سمپاش باغی با دمنده هوا، کارایی پاشش بهتر بود. شِن و همکاران (Shen et al., 2017) در پژوهشی یک سمپاش نرخ متغیر برای تنظیم خودکار خروجی محلول سم در زمان واقعی با توجه به اندازه، شکل، تراکم شاخ و برگ درخت را توسعه دادند. نتایج نشان داد که سمپاش نرخ متغیر ۱۲٪ تا ۴۳٪ از میزان محلول سم مورد استفاده توسط سمپاش نرخ ثابت را مصرف نمود. آسایی و همکاران (Asaei et al., 2019) نیز یک سمپاش باغی مجهز به بینایی ماشین که مقدار سmom دفع آفات را بر اساس نتایج درخت اعمال نمود، برای مدیریت سmom شیمیایی در باغات زیتون طراحی و ارزیابی کردند. کاهش مصرف سmom ۵۴٪ برآورد شد که در باغ‌های جوان‌تر و دارای فاصله بیشتر بین درختان، این مقدار می‌تواند افزایش یابد. در پژوهشی اوبرتی و همکاران (Oberti et al., 2016) تصویربرداری درختان را با استفاده از دوربین نصب شده در جلوی تراکتور در ارتفاع یک متری از سطح زمین و بهصورت افقی انجام دادند. آن‌ها بیان کردند که سامانه بینایی بر اساس تصویربرداری از هدف می‌تواند از تصویر قابل مشاهده تا تصویر فراتیفی متفاوت باشد. این محققان برای تشخیص آلوگی کپک پودری روی تاکها و سمپاشی نقطه‌ای، از تصویربرداری چندطیفی^۶ (RGNIR^۷) استفاده کردند. هاکوار و

محصول در باغ بهطور یکنواخت پخش می‌کند و درصد بالایی از مواد شیمیایی را بهصورت رانش قطرات هدر داده و یا این که به علت پاشش زیاد، پس از سمپاشی مواد شیمیایی زیادی بهصورت رسوب روی هدف باقی می‌ماند و در نتیجه هزینه‌های زیادی از نظر اقتصادی و زیستمحیطی بهوجود می‌آید (Rodrigo, Oturan, & Oturan, 2014; Dou et al., 2018; Landers, 2008; Asaei et al., 2019). بنابراین می‌توان بیان نمود که کاربرد تکنیک‌های سنتی در تولید محصولات کشاورزی بهطور فزاینده‌ای باعث ایجاد تناقض بین توسعه اقتصادی و حفاظت از محیط‌زیست می‌شود (Dou et al., 2018). این مسائل، ضرورت کنترل مصرف و پخش سmom شیمیایی در سمپاش‌های مرسوم را نشان می‌دهد (Kasner et al., 2018). تحقیقات نشان داده که امروزه با بهکارگیری فن‌آوری‌های مناسب می‌توان میزان مصرف منابع مورد نیاز برای تولید محصولات کشاورزی از جمله سmom شیمیایی را بهینه نمود و با تطبیق بهترین روش‌ها، حداکثر بهره‌وری را بهدست آورد (Taheri-Rad, Khojastehpour, Rohani, Khoramdel, & Nikkhah, 2017).

کشاورزی دقیق^۸، یکی از فن‌آوری‌هایی است که از آن برای بهینه‌سازی کاربرد سmom شیمیایی استفاده شده است. این امر مستلزم استقرار تجهیزات مناسب، برای تخصیص بهینه نهاده‌ها است (Cobbenhagen, Antunes, van de Molengraft, & Heemels, 2021). از مهم‌ترین رویکردهای اصلی در کشاورزی دقیق، مدیریت خاص مکانی و فناوری نرخ متغیر است (Méndez-Vázquez, Lira-Noriega, Lasa-Covarrubias, & Cerdeira-Estrada, 2019). در واقع فن‌آوری‌های نرخ متغیر، یک روش موثر در این زمینه برای کاهش مصرف منابع و آلایندگی‌های زیستمحیطی و افزایش بهره‌وری هستند (Pimentel & Lehman, 1993).

در زمینه استفاده از فن‌آوری نرخ متغیر، از روش‌های مختلفی مانند استفاده از حسگرهای اولتراسونیک (Solanelles et al., 2006)، سنجش موقعیت درخت با استفاده از سامانه موقعیت‌یاب جهانی^۹ (Subramanian, Burks, & Arroyo, 2006) و اسکنرهای لیزری^{۱۰} (Chen, Ozkan, Zhu, Derksen, & Krause, 2013) برای این منظور استفاده شده است. در پژوهشی توسط محققان یک سمپاش نرخ متغیر باغی برای باغات انگور توسعه داده شد و استفاده از این سمپاش بهطور متوسط سبب ۲۱٪ درصد صرفه‌جویی در مصرف سmom گردید (Gil, Llorens, Llop, Fàbregas, & Tewari, 2013). در تحقیقی دیگر تواری و همکاران (Gallart, 2013) یک سمپاش باغی نرخ متغیر (Chandel, Nare, & Kumar, 2018

4- Ultrasonic sensor

5- Turbo nozzle

6- Images Multispectral

7- Red-Green-Near Infrared

1- Precision farming

2- Global Positioning System (GPS)

3- Laser Scanner

لیکن هرگونه صرفه‌جویی حاصل از کاربرد سمپاشی نرخ متغیر دارای اهمیت فراوانی است، زیرا استفاده‌ی بیش از اندازه از سموم شیمیایی (Gil & Escolà, 2009; Carvalho, 2017; Mamane, Raherison, & Tessier, Baldi, & Bouvier, 2015)

همکاران (Hocevar et al., 2016) نیز در مورد کانوپی درخت سیب نشان دادند که می‌توان به صورت عملی بینایی ماشین را برای شناخت کانوپی درخت به کار برد. محققان بیان کردند این رغم این که به دلیل تعدد عوامل موثر بر عملیات سمپاشی، تعیین مقدار بهینه‌ی سم مورد نیاز از نظر کارایی و اثربخشی با حداقل آسیب‌گاهی زیستمحیطی بسیار دشوار است،

جدول ۱- جمع‌بندی برخی از شاخص‌های مطالعاتی در تحقیقات انجام‌شده

Table 1- Indicators utilized in the conducted research

عنوان مطالعه و نتایج Study title and results
در پژوهشی سیستم کنترل نازل اتوماتیک با حسگر اولتراسونیک برای سمپاش‌های باگی را در حالت ایستا ارزیابی شد. نتایج نشان داد که حسگر اولتراسونیک توانست با تشخیص کانوپی، قطع و وصل شدن جریان سمپاشی را کنترل نماید. نتایج نشان داد که حسگر اولتراسونیک توانست اجمام را در فاصله ۵ متری با پایداری بالا تشخیص دهد (Zürey, Balci, & Sabancı, 2020).
تواری و همکاران (Tewari et al., 2018) کاربرد یک سامانه فناوری نرخ متغیر مبتنی بر حسگر اولتراسونیک برای سمپاشی در باگها را با دو نوع نازل توربو و مخروطی بررسی کردند. نتایج نشان داد که سمپاشی با استفاده از نازل توربو باعث پوشش ۴۷/۴۱ درصدی سمپاشی روی کانوپی شد و صرفه‌جویی ۲۶ درصدی در مصرف سم را در پی داشت. همچنین فناوری پاشش مبتنی بر حسگر اولتراسونیک به خوبی توانست از سمپاشی در ناحیه بدون کانوپی خودداری کند.
در تحقیقی دیگر میزان نشست و انتشار سم در یک باع مدرن بررسی گردید. نتایج نشان داد که رانش سم تا ۵۲ متر درجهت باد اتفاق افتاد که این مقدار ۱/۷ برابر بیشتر از مقدار استانداری بود که توسط استاندارد حفاظت از محیط‌زیست ایالات متحده تعريف گردیده بود (Kasner et al., 2018).
اسکولا و همکاران (Escolà et al., 2013) نیز یک سمپاش باگی نرخ متغیر مبتنی بر حسگر لیدار را برای باغات انگور طراحی و ارزیابی کردند. نتایج نشان داد که تغییر نرخ جریان سم پاشیده شده از طریق شیرهای نرخ متغیر مغناطیسی با فرکانس بالا بر اندازه قطرات تولیدی تأثیر معنی داری نداشت.
زمان و همکاران (Zaman et al., 2011) یک سمپاش نرخ متغیر را برای کنترل علف‌های هرز توسعه دادند. این سمپاش دارای سامانه کنترل نرخ متغیر شامل ۸ حسگر اولتراسونیک (یک حسگر در هر بخش سمپاش) بود. درصد پوشش سطح اهداف سمپاشی شده با پردازش تصویر بررسی شد. نتایج نشان داد که برای اهداف یکنواخت هیچ انحراف قابل توجهی وجود نداشت و سمپاش توانست علف‌های هرز را سمپاشی کند. درصد پوشش کاغذهای حساس به آب از ۱۰ درصد تا ۸۱ درصد متغیر بود.
گارسرا و همکاران (Garcerá, Molto, & Chueca, 2017) کارایی سمپاشی در باغات مرکبات را بررسی کرده و در این پژوهش نازل‌های مخروطی استاندارد (DC35) و نازل‌های ونتوری (Albuz TVI 80 03) با هم مقایسه شدند. نتایج نشان داد که تهدا حدود ۳۶ درصد از محلول سم بر روی درختان (هدف) نشست کرد. نازل‌های استاندارد دارای رانش بیشتر سم در هوا (%) نسبت به نازل‌های ونتوری (۱۷٪) بودند، اما نشست مستقیم کمتری روی زمین (۲۲٪) داشتند.
در پژوهشی یک سامانه اندازه‌گیری تراکم کانوپی بدون سرنوشن برای پشتیبانی از سمپاشی دقیق در باعهای سبب بهمنظور اعمال دقیق آفت‌کش‌ها در باغات توسعه داده شد. این سامانه شامل یک حسگر لیدار، برد الکترونیک برای انتقال داده‌ها و یک کامپیوتر بود. آزمایش‌ها در دو باع انجام شد (یکی با درختان سبب بزرگ و دیگری با درختان سبب کوچک‌تر). نتایج نشان داد که نقشه‌های تراکم کانوپی می‌تواند تراکم بالا، متوسط و کم و همچنین مناطق بدون برگ بین درختان سبب را مشخص کند، که برای هدایت سیستم‌های مدیریت دقیق باید تشخیص داده شوند (Mahmud et al., 2021).
الگوهای سمپاشی در چهار نوع سمپاش تجاری مورد استفاده در تولید محصولات زراعی مورد بررسی قرار گرفتند. نتایج نشان داد که مقدار پاشش دو طرف سمپاش‌ها در همه سمپاش‌های مورد بررسی اختلاف معنی‌داری نداشت ($P < 0.05$) و تقارن و یکنواختی سمپاشی در هر چهار نوع سمپاش در محدوده بسیار بالا (۷۶-۱۰۰٪) و زیاد (۵۱-۷۵٪) بود (Rathnayake, Chandel, Schrader, Hoheisel, & Khot, 2021).
سهیلی‌فرد و همکاران (Soheilifard, Marzban, Raini, Taki, & van Zelm, 2020) ردپای شیمیایی آفت‌کش‌های مورد استفاده در باعهای مرکبات (نارنگی و لیمو) را بر اساس نشست روی هدف و تلفات خارج از هدف بررسی کردند. ستاریوهای مختلف سمپاشی بر اساس دو نوع نازل مخروطی توخالی و تی‌jet و سه سطح فشار (۳۰، ۴۰ و ۵۰ پار) در دو باع با فاصله ردیف‌های مختلف تعريف شد. نتایج نشان داد که تهدا ۳۷ تا ۲۶ درصد از محلول سم روی هدف نشست کرد. انتشار سم در هوا نیز به ترتیب حدود ۱۷ و ۱۸ درصد برای نازل‌های مخروطی توخالی و تی‌jet داشت.
شن و همکاران (Shen et al., 2017) نیز یک سمپاش باگی را با استفاده از سامانه هدایت دقیق لیزرسی توسعه دادند. دقت سمپاش برای شناسایی درختان با اندازه‌های مختلف و کنترل خروجی مقدار سم بر اساس ساختار درخت لیزرسی شد. کیفیت نشست سم بین حالت‌های عملیاتی با نرخ متغیر و نرخ ثابت سمپاش نیز مقایسه شد. نتایج آزمایش‌ها توانایی سمپاش را برای اندازه‌گیری دقیق درختان مختلف و سپس کنترل خروجی مقدار سم از نازل‌ها به طور مستقل برای مطابقت با ساختار درخت را نشان داد. شباهت نمای کلی تصاویر مقایسه‌شده با دوربین دیجیتال و با حسگر لیزرسی برای سه درخت از ۸۱ تا ۸۹ درصد متغیر بود. سمپاش نرخ متغیر متناسب با اندازه و شکل درختان نشست ۱۲/۱ تا ۴۳/۳ درصد مقدار مصرف سمی که در حالت نرخ ثابت مصرف شد (۴۶۸ لیتر) را مصرف نماید.
بررسی اقتصادی دو نوع سامانه سمپاشی نرخ متغیر مبتنی بر نتشه و نرخ متغیر مبتنی بر حسگر را بررسی کردند. در این پژوهش یک چارچوب اقتصادی برای ارزیابی نرخ بازگشت سرمایه مورد نیاز برای هزینه سرمایه‌گذاری‌های در سمپاش نرخ متغیر بررسی شد. نتایج نشان داد که سیستم‌های نرخ متغیر مبتنی بر حسگر، هزینه‌های مالکیت بالایی دارند اما هزینه‌های سالانه تکرارشونده پایینی داشتند. در مقابل، سیستم‌های نرخ متغیر مبتنی بر نتشه، هزینه‌های مالکیت کمتری داشتند، اما دارای هزینه‌های سالانه بالاتری بودند. نتایج نشان داد که بر اساس یک سناریوی پایه، سیستم‌های نرخ متغیر با استفاده از حسگرهای NDIV با پسخونه بالا و آن‌هایی که از تصاویر NDVI هوابی استفاده می‌کنند، در سطوح صرفه‌جویی نهاده ۱۱ درصد و یا بالاتر سودآور هستند (Mooney, Larson, Roberts, & English, 2009).

مواد و روش‌ها

روش آماری و طیف‌سنجی نمونه‌ها

این پژوهش به منظور ارزیابی سمپاش (تربولوایزر مدل توربینا اس.ای. ۸۰۰) به دو صورت نرخ متغیر و نرخ ثابت در دانشگاه علوم کشاورزی و منابع طبیعی خوزستان و کشت و صنعت شهید رجایی شهرستان ذرفول در سال زراعی ۱۴۰۲-۱۴۰۱ انجام شد. آزمایش به صورت طرح فاکتوریل در قالب بلوک‌های کامل تصادفی و در سه تکرار انجام شد. فاکتور اول شامل نوع سمپاش در ۲ سطح (سمپاش نرخ متغیر و سمپاش نرخ ثابت) و فاکتور دوم سرعت پیشروی سمپاشی در ۳ سطح (کم برابر $1/6$ کیلومتر بر ساعت، متوسط برابر $3/2$ کیلومتر بر ساعت و زیاد برابر $4/8$ کیلومتر بر ساعت) بود. در جدول ۲ تیمارهای مورد بررسی در این پژوهش بیان شده است.

با توجه به مرور منابع مختلف مشاهده شد که اگرچه تحقیقات مختلفی در مورد سمپاش‌های نرخ ثابت و متغیر صورت گرفته است، اما این تحقیقات اغلب به جنبه‌های موردنی و منفرد از سمپاش‌ها توجه نموده‌اند و به گفته‌ی دو و همکاران (Dou et al., 2018) زمینه‌های زیادی برای پیشرفت و نوآوری در این حوزه وجود دارد. توسعه، ارزیابی و مقایسه کاربرد فن‌آوری نرخ متغیر در سمپاشی باغات، اطلاعات جامعی در زمینه سمپاش‌های نرخ متغیر برای هرگونه تصمیم‌گیری ارائه می‌دهد. انجام این تحقیق که با هدف بهینه‌سازی مصرف سوم شیمیابی، کاهش آلینده‌های زیست‌محیطی، کاهش هزینه‌ها و افزایش سودآوری تولید انجام شد، یک نوآوری موثر و کاربردی برای دستیابی به منافع اقتصادی و کشاورزی پایدار است. لذا هدف اصلی از این پژوهش توسعه و ارزیابی یک سمپاش توربینی باعی نرخ متغیر و مقایسه آن با نرخ ثابت بود. جدول ۱ جمع‌بندی تعدادی از مطالعات انجام‌شده در تحقیقات قبلی را نشان داده است.

جدول ۲- تیمارهای مورد بررسی در پژوهش حاضر

Table 2- Treatments investigated in the present research

عنوان Title	تیمار ۱ T 1	تیمار ۲ T 2	تیمار ۳ T 3	تیمار ۴ T 4	تیمار ۵ T 5	تیمار ۶ T 6
توضیحات Description	سمپاشی نرخ ثابت با سمپاشی نرخ متغیر با سمپاشی نرخ متغیر با سمپاشی نرخ ثابت با سرعت پیشروی $4/8$ سرعت پیشروی $3/2$ سرعت پیشروی $1/6$ سرعت پیشروی $3/2$ سرعت پیشروی $1/6$ سرعت پیشروی $4/8$ کیلومتر بر ساعت	سمپاشی نرخ ثابت با سرعت پیشروی $4/8$ سرعت پیشروی $3/2$ سرعت پیشروی $1/6$ سرعت پیشروی $3/2$ سرعت پیشروی $1/6$ سرعت پیشروی $4/8$ کیلومتر بر ساعت	سمپاشی نرخ ثابت با سرعت پیشروی $4/8$ سرعت پیشروی $3/2$ سرعت پیشروی $1/6$ سرعت پیشروی $3/2$ سرعت پیشروی $1/6$ سرعت پیشروی $4/8$ کیلومتر بر ساعت	سمپاشی نرخ ثابت با سرعت پیشروی $4/8$ سرعت پیشروی $3/2$ سرعت پیشروی $1/6$ سرعت پیشروی $3/2$ سرعت پیشروی $1/6$ سرعت پیشروی $4/8$ کیلومتر بر ساعت	سمپاشی نرخ ثابت با سرعت پیشروی $4/8$ سرعت پیشروی $3/2$ سرعت پیشروی $1/6$ سرعت پیشروی $3/2$ سرعت پیشروی $1/6$ سرعت پیشروی $4/8$ کیلومتر بر ساعت	سمپاشی نرخ ثابت با سرعت پیشروی $4/8$ سرعت پیشروی $3/2$ سرعت پیشروی $1/6$ سرعت پیشروی $3/2$ سرعت پیشروی $1/6$ سرعت پیشروی $4/8$ کیلومتر بر ساعت

طیف‌سنجی نوری، داده‌های جمع‌آوری شده توسط نرم‌افزار اکسل دسته‌بندی و با استفاده از نرم‌افزار SPSS¹ تجزیه و تحلیل شدند. تعییرات لازم بر روی یک سمپاش توربینی نرخ ثابت که مشخصات آن در جدول ۳ بیان شده است، اعمال گردید.

اجزای اصلی سمپاش توسعه یافته موردنظر در این پژوهش از شیر بر قی *on/off*، دوربین دیجیتال برای تصویربرداری، حسگر اولتراسونیک، جریان سنج² و مدار کنترلی تشکیل شد. به طوری کلی توسعه‌ی سمپاش نرخ متغیر از دو بخش تشکیل شد. مرحله اول تشخیص حجم کانوپی و به دست آوردن اطلاعات لازم از هدف (درخت) و مرحله دوم ارتباط و عملکرد اجزا در سمپاشی نرخ سمپاشی (اعمال نرخ متغیر) بود.

پس از توسعه سمپاش نرخ ثابت به نرخ متغیر و انجام آزمایش‌های میدانی با هر دو نوع سمپاش، پتری دیش‌ها که به منظور جمع‌آوری مقدار نشست سم روی زمین و کاغذهای فیلتری و اتمن که به منظور جمع‌آوری مقدار نشست سم روی درخت و انتشار در هوا نصب شده بودند گردآوری شدند و به منظور ارزیابی شاخص‌های کمی، در آزمایشگاه محلول پاشیده شده، در ظروف طیف‌سنجی نوری شد. طیف‌سنجی نمونه‌ها به منظور تعیین مقدار نشست سم در واحد سطح انجام شد. در این کار نمونه‌ها (پتری دیش‌ها و کاغذهای فیلتری و اتمن) با آب مقطر مورد شستشو قرار گرفتند و با استفاده از طیف‌سنج نوری غلظت ماده ردیاب مورد استفاده اندازه‌گیری شد (Pergher, 2001). به منظور انجام طیف‌سنجی نوری از دستگاه طیف‌سنج نوری مدل Biochrom Libra S22 UV-Vis استفاده شد. این دستگاه قابلیت نمایش طول موج‌های مختلف در غلظت‌های متفاوت و میزان غلظت‌های مختلف در طول موج ثابتی را دارد. پس از عملیات

1- Statistical Package for the Social Sciences (SPSS)
2- Flow meter

جدول ۳- مشخصات سمپاش مورد نظر برای توسعه و انجام آزمایشات
Table 3- Characteristics of the desired sprayer for development and testing

فشار ماکزیمم Maximum pressure (bar)	دور پروانه Propeller speed (rpm)	نوع اتصال به تراکتور Type of connection to the tractor	تعداد و نوع نازل Number and type of nozzles	حجم مخزن Tank volume (liters)	حداکثر شعاع پاشش Maximum spraying radius (meters)	مدل Model
35	قابل تنظیم Adjustable	گرد سوار شونده PTO mounted PTO	۱۰ نازل مخروطی 10 conical nozzles	800	20	توربولاینر (مدل توربینا اس.ای. ای. (۸۰۰. Turboliner (S.E.800 turbine model)

برای تشخیص کانوپی درختان توسط حسگر اولتراسونیک تعریف شد، به این معنی که چنانچه در فضای رویه روی حسگر اولتراسونیک به فاصله یک متر کانوپی وجود نداشت، جریان کل محلول خروجی توسط شیر برقی on و off قطع می‌گردید. به طور کلی نصب شیر برقی on و off به دو منظور انجام شد. اول این‌که مانع از کارکرد سامانه با تصویربرداری از درختان ردیف دوم شد و دوم این‌که به محض این‌که سمپاش وارد منطقه بدون کانوپی (فاصله بین دو درخت) گردید کل جریان سمپاشی توسط شیر برقی on و off قطع شد و این کار سبب گردید که نیازی به بسته شدن کامل شیر برقی نرخ متغیر نباشد. برای اجرای این عمل، حسگر اولتراسونیک فاصله‌ی بین درختان فقط تا شعاع یک متری را تشخیص داد. فاصله یک متری تعیین شده سبب شد که درختان موجود در ردیف بعد مبنای تصمیم‌گیری جریان نرخ متغیر قرار نگیرند. با تشخیص فاصله توسط حسگر اولتراسونیک، برد الکترونیکی دستور قطع شیر برقی on و off را صادر نمود و جریان به طور آنی قطع شد.

به منظور سنجش مقدار محلول مصرفی در عملیات سمپاشی نیز یک کنتور الکترونیکی سنجش جریان^۱ تهیه و در مسیر خروجی محلول بعد از شیر on و off قرار گرفت (شکل ۲ و ۳).

برای کنترل عملکردهای مورد استفاده، از یک برد الکترونیکی استفاده شد و با نصب نرم‌افزار آردینو بر روی رایانه، امکان تنظیم و کنترل عملکردهای مختلف توسط برد الکترونیکی فراهم گردید. تجهیزات مربوطه مانند شیر برقی نرخ متغیر، شیر on و off، کنتور دیجیتال سنجش مقدار محلول خروجی و حسگر اولتراسونیک هر کدام با سیم‌های رابط مخصوص خود به این برد متصل شدند. جریان الکتریسیته مورد نیاز برد الکترونیکی و همچنین لپتاپ مورد استفاده، با استفاده از یک مبدل از طریق باتری تراکتور تأمین شد. برد الکترونیکی مذکور روی یک پایه چوبی تعیینه شده بر روی سمپاش نصب شد (شکل ۴).

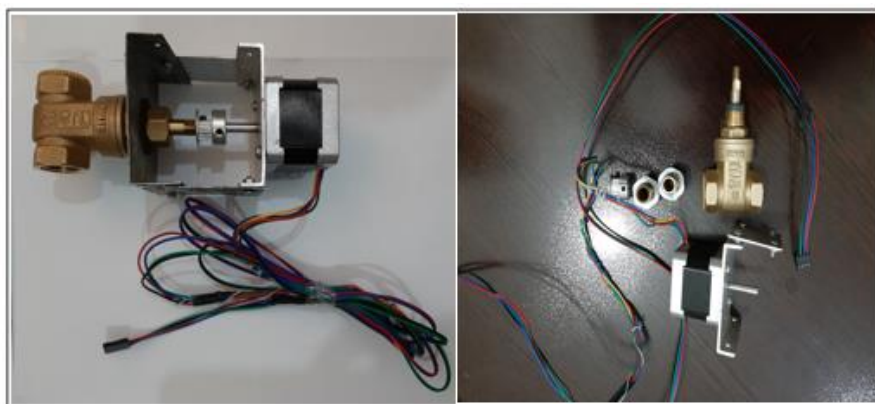
تشخیص حجم کانوپی

برای مصرف بهینه‌ی محلول سم، سامانه‌ی تشخیص حجم کانوپی با استفاده از پردازش تصویر به کار گرفته شد تا حجم کانوپی درخت برای اعمال نرخ متغیر محلول سم، مبنای سمپاشی قرار گیرد. مهم‌ترین کاربرد حسگر اولتراسونیک^۱ نیز تشخیص حجم کانوپی و قطع جریان سمپاشی در فضاهای خالی بین درختان بود که در این فضاهای به دلیل عدم وجود کانوپی، نیاز به سمپاشی نبود. برای اخذ تصاویر، از دوربین دیجیتال رنگی استفاده شد. برای تغییر نرخ محلول خروجی از سمپاش متناسب با حجم کانوپی از شیر برقی نرخ متغیر استفاده شد. به همین منظور یک شیر فلکه‌ای معمولی (شکل ۱) تهیه و با تغییرات لازم به یک شیر برقی نرخ متغیر تبدیل گردید. با توجه به این‌که میزان باز و بسته شدن شیر فلکه‌ای موردنظر باید متناسب با سیگنال دریافتی از مدار الکترونیکی باشد، لذا از یک موتور پله‌ای برای باز و بسته کردن شیر فلکه‌ای استفاده شد. با استفاده از تجهیزات لازم، موتور پله‌ای به نحوی روی شیر فلکه‌ای نصب و یکپارچه گردید که امکان باز و بسته شدن شیر فلکه‌ای توسط موتور پله‌ای وجود داشته باشد. از نرم‌افزار متلب برای انجام بازسازی سه‌بعدی استفاده شد.

به منظور جلوگیری از عملکرد مداوم شیر برقی نرخ متغیر، یک شیر برقی on و off تهیه و در مسیر جریان سمپاشی بعد از شیر برقی نرخ متغیر قرار گرفت. عملکرد این شیر، واپسیه به حسگر اولتراسونیک نصب شده بر روی پایه مخصوصی بود که بر روی بدنه سمپاش قرار داشت. در نرم‌افزار متلب، فاصله مشخصی (یک متر)

1- Ultrasonic distance measuring module. model: HY-SRF05. Static current: less than 2 mA. Detection distance: 3m-4m. High precision: up to 0.3 cm. Voltage: DC5V. made in China

2- Electric solenoid valve 12v 24V 220V. Operation mode: NC (normally closed). Inlet and outlet: hose barbs for 1/2" (outer diameter) hose. Medium temperature: 0-100°C. Usage: water and low viscosity fluids. Valve body material: brass. made in China.



شکل ۱- نصب موتور پله‌ای روی فلکه‌ای و تبدیل آن به شیر نرخ متغیر برقی

Fig.1. Installation of a stepper motor on a poppet valve for electric variable rate valve conversion



شکل ۳- کنتور الکترونیکی نصب شده در مسیر خروج محلول سم از سمپاش و کالیبراسیون آن
Fig.3. Electronic meter installed for the pesticide solution exit from the sprayer



شکل ۲- شیر برقی on و off
Fig.2. ON-OFF solenoid valve

آزمایش‌های کارگاهی و میدانی

پس از تهیه و نصب تجهیزات لازم، آزمایش سمپاش طی دو مرحله صورت گرفت. در مرحله اول عملکرد سمپاش در دو حالت نرخ ثابت و نرخ متغیر در محوطه کارگاه ماشین‌های کشاورزی دانشگاه و در حالت استاده (بدون حرکت سمپاش) انجام شد. در این مرحله وضعیت سامانه تشخیص درخت بهمنظور بررسی کارکرد قطع و وصل کردن جریان سمپاشی آزمایش شد. در این مرحله بهمنظور اطمینان از کارکرد برنامه نرمافزاری نوشته شده، یک شی خارجی در مقابل حسگر اولتراسونیک قرار گرفت و ارزیابی لازم صورت گرفت (حالت استاده). پس از انجام آزمایش کارگاهی مرحله اول و اطمینان از صحت کارکرد سامانه، عملیات آزمایشی دوم روی درختان موجود در محوطه دانشگاه انجام و عملکرد دستگاه مورد بررسی نهایی قرار گرفت. در این مرحله نیز صحت عملکرد دستگاه سمپاش و سامانه نرخ متغیر در حین حرکت مورد بررسی قرار گرفت (شکل ۵).

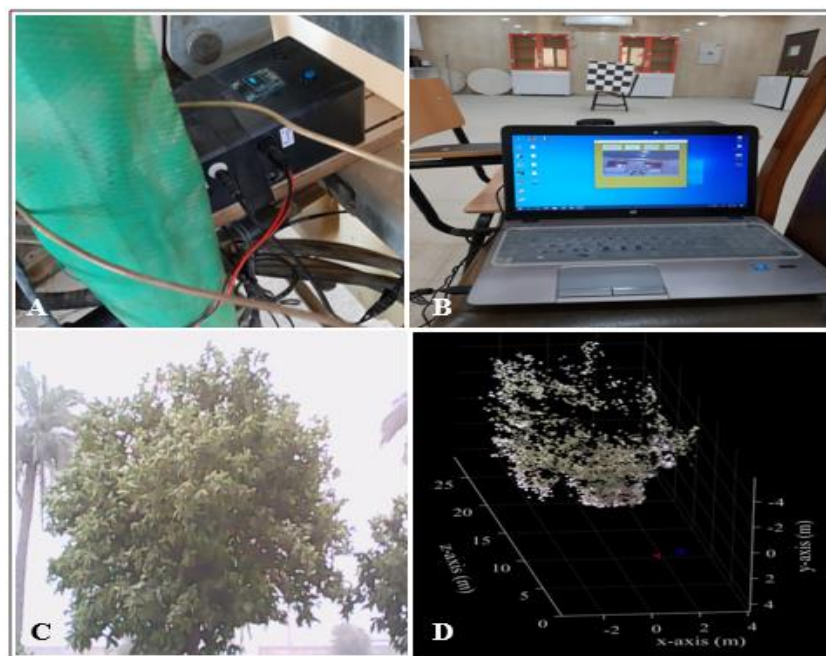
شکل ۶ نمای سامانه نرخ متغیر در این پژوهش را نشان داده است.

برای تصویربرداری و همچنین تشخیص فاصله بین درختان، از دوربین دیجیتال و حسگر اولتراسونیک استفاده شد. به همین بهمنظر با استفاده از تجهیزات مختلف، پایه‌های مناسب و قابل تنظیم تهییه گردید. برای تنظیم و کالیبراسیون دوربین دیجیتال از کادر مکعبی و همچنین تصویربرداری از درختان مرکبات در فواصل مختلف استفاده شد.

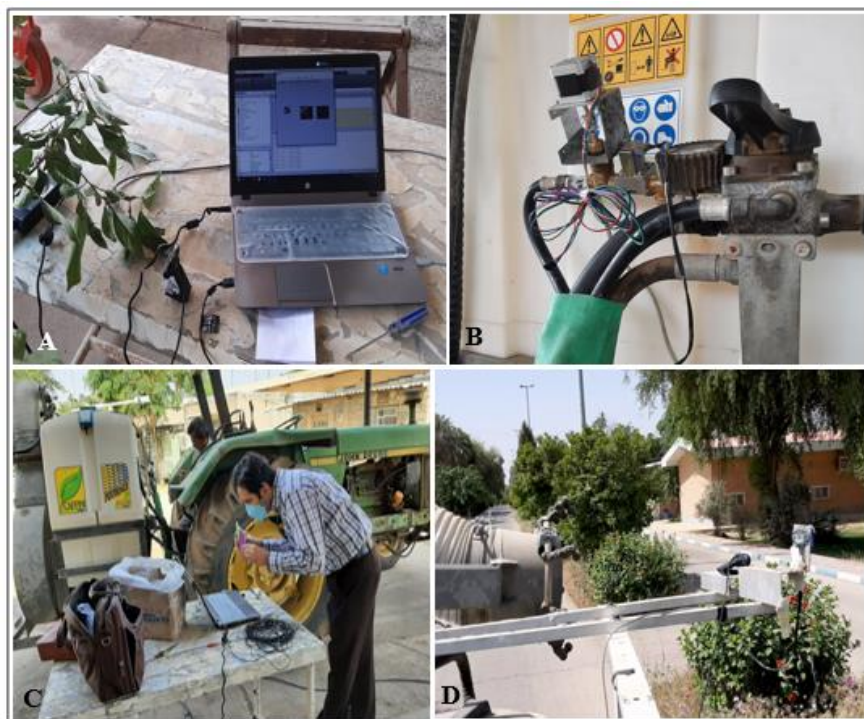
کنترل جریان سمپاشی و تشخیص کانوپی با دوربین و

حسگر اولتراسونیک

کنترل کننده از نوع PWM و برنامه‌نویسی شده با نرمافزار متلب بود. با دریافت تصاویر آنلاین توسط دوربین و تجزیه و تحلیل آنها توسط نرمافزار متلب، حجم درختان بهصورت برخط محاسبه و هم‌زمان به برد الکترونیکی منتقل گردید. برد الکترونیکی یک ولتاژ متناسب با حجم کانوپی درخت به شیر برقی نرخ متغیر ارسال نمود که سبب تغییر در مقدار باز و بسته شدن شیر مذکور و نهایتاً تغییر جریان سم خروجی گردید.

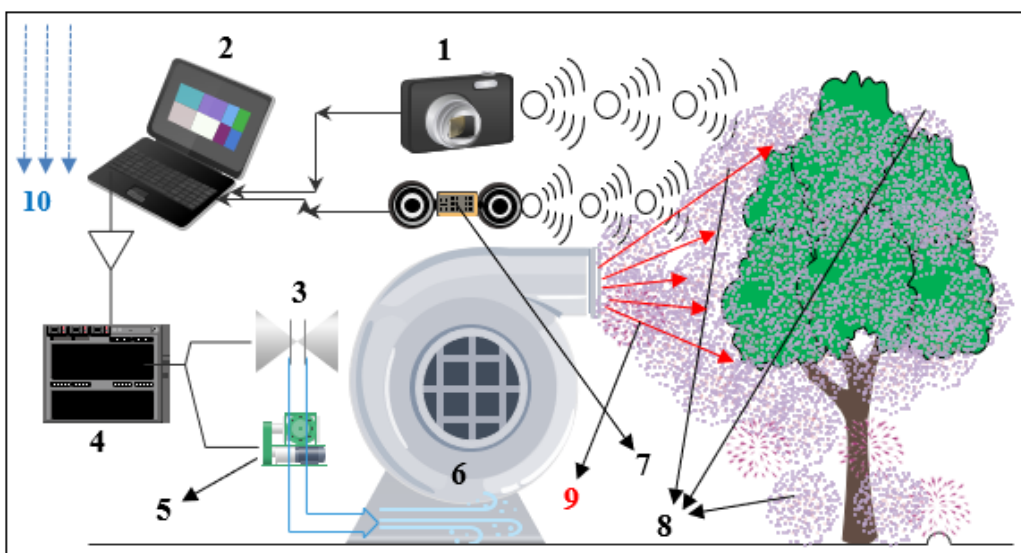


شکل ۴ - A: نصب برد الکترونیک روی سمپاش، B: کالیبراسیون دوربین دیجیتال، C: تصویربرداری از درختان، D: برآورد حجم کانونی
Fig.4. A: The electronic board installed on the sprayer, B: Digital camera calibration, C: Tree imaging, and D: Canopy volume estimation



شکل ۵ - A: ارزیابی برنامه نرم‌افزاری تشخیص و محاسبه حجم کانونی، B: نصب شیر برقی on و off و شیر برقی نرخ متغیر، C: آزمایش کارگاهی سمپاش نرخ متغیر، D: آزمایش میدانی سمپاش نرخ متغیر

Fig.5. A: Evaluation of the software program for canopy recognition and canopy volume calculation, B: Installation of the ON-OFF solenoid valve and the variable rate solenoid valve, C: Testing the variable rate sprayer in the workshop, and D: Testing the variable rate sprayer on the field



شکل ۶- نمای سامانه‌ی سمپاشی نرخ متغیر: ۱. دوربین، ۲. رایانه (پردازشگر داده‌ها)، ۳. شیر برقی on و off، ۴. برد الکترونیک، ۵. شیر برقی نرخ متغیر، ۶. سمپاش، ۷. حسگر اولتراسونیک، ۸. نقاط بادردگی، ۹. جهت سمپاشی، ۱۰. جهت باد

Fig.6. An overview of the variable rate spraying system: 1. Camera, 2. Computer (data processing), 3. ON-OFF valve, 4. Electronic board, 5. Variable rate valve, 6. Sprayer, 7. Ultrasonic sensor, 8. Drift points, 9. Spraying direction, and 10. Wind direction

برای تعیین میزان سطح برگ درختان مورد بررسی در عملیات سمپاشی دو شاخص تراکم سطح برگ (LAD) و حجم کانوپی درخت با در نظر گرفتن مساحت دو رویه برگ اندازه‌گیری شدند (رابطه ۱):

$$S_T = 2 \times LAD \times V_T \quad (1)$$

در این رابطه:

LAD: تراکم سطح برگ (متربع برگ به‌ازای مترمکعب کانوپی)
 V_T : میانگین حجم ظاهری کانوپی درخت (مترمکعب در هر درخت) می‌باشد.

به همین منظور یک مکعب با ابعاد $50 \times 50 \times 50$ تهیه و از نقاط مختلف درخت برگ‌هایی جدا و جمع‌آوری شده و وزن گردیدند. سپس با استفاده از نسبت وزن برگ در واحد حجم کانوپی سطح برگ درخت 3 بدست آمد. برای به‌دست آوردن نسبت سطح برگ به وزن آن، تعداد ۱۰ برگ با استفاده از ترازوی دیجیتال وزن شده و با استفاده از نرم‌افزار متلب و پردازش تصویر سطح این برگ‌ها محاسبه شد. در نهایت با استفاده از دو نسبت به‌دست آمده یعنی وزن برگ‌ها (LW) در واحد حجم کانوپی 5 (رابطه ۲) و سطح برگ‌ها به وزن آن‌ها (رابطه 3 ، تراکم سطح برگ 6 محاسبه شد (شکل ۸).

عملیات میدانی و ارزیابی نهایی سمپاش موردنظر در باغات مرکبات کشت و صنعت شهید رجایی شهرستان ذوق‌الله انجام شد. همه‌ی آزمایش‌ها در دو حالت سمپاشی نرخ ثابت و نرخ متغیر و در سه سرعت پیشروی متفاوت (کم، متوسط و زیاد) $(1/6, 3/2, 4/8)$ کیلومتر بر ساعت) و با سه تکرار اجرا و شاخص‌های عملکردی سمپاشی اندازه‌گیری شد. پس از تنظیم سرعت پیشروی و سایر پارامترهای عملکردی مانند فشار و سرعت فن، عملیات سمپاشی اجرا شد. پارامترهای محیطی مانند سرعت باد، دما و رطوبت هوا حین انجام آزمایش‌ها اندازه‌گیری و ثبت گردید. به‌منظور اندازه‌گیری سرعت باد و دما از بادسنج و دماسنجد 1 (TAM 618)، کشور چین) و برای اندازه‌گیری رطوبت از دستگاه رطوبت‌سنج 2 (Precision Hair Hygrometer، کشور آلمان) که رطوبت را در دامنه دمایی $-35 \text{--} +65$ درجه سانتی‌گراد و در بازه صفر تا ۱۰۰ درصد نشان می‌دهد، استفاده شد (شکل ۷). اندازه‌گیری پارامترهای هواشناسی در روز سمپاشی نشان داد که سرعت باد $6/0$ معادل کیلومتر بر ساعت (جهت وزش باد: شرقی-غربی)، رطوبت نسبی $42/0$ و دمای هوا $40/5$ درجه سانتی‌گراد بود.

روش تعیین سطح برگ درختان مورد آزمایش

3- Tree Leaf Surface

4- Leaf weight

5- Canopy volume

6- Leaf Surface Density

1- Wind speedometer model DT-618 made by CEM company. Made in China

2- Measuring range: 0%– 100% relative humidity. Temperature range: -35°C to $+65^{\circ}\text{C}$. Reading accuracy: $\pm 5\%$. Diameter: 100mm. made in Germany

$$LSD = \frac{LAD}{LW} \quad (3)$$

در رابطه (۳) نیز، LAD: تراکم سطح برگ (مترمربع برگ بهازای مترمکعب کانونی) و LW: وزن برگ‌ها (گرم بهازای برگ) بود.

$$TLS = \frac{LW}{CV} \quad (2)$$

در رابطه (۲)، LW: وزن برگ‌ها (گرم بهازای برگ) و CV: حجم ظاهری کانونی درخت (مترمکعب در هر درخت) بود.



شکل ۷- بادسنج، دماسنجد و رطوبت‌سنج مورد استفاده در اندازه‌گیری پارامترهای هواشناسی

Fig.7. Anemometer, thermometer, and hygrometer used for measuring the meteorological parameters



شکل ۸- محاسبه سطح برگ با استفاده از پردازش تصویر

Fig.8. Leaf area calculated using image processing

این دو تصویر بعد از جداسازی تصویر درخت از پس‌زمینه در رابطه (۴) قرار داده شد و حجم گیاه به‌دست آمد.

$$V_T = \frac{1}{6} \times \pi \times d_{ac-r} \times d_{al-r} \quad (4)$$

در این رابطه d_{ac-r} میانگین قطر کانونی عمود بر ردیف، d_{al-r}

برای محاسبه حجم ظاهری درختان نیز کانونی آن‌ها به صورت بیضی فرض گردید و حجم آن‌ها بر همین اساس با استفاده از رابطه (۴) محاسبه شد. برای این منظور یک تصویر یک راستای عمود بر خط کاشت و یک تصویر هم در راستای خط کاشت اخذ شد و قطر متوسط

دستگاه طیف‌سنج و روابط (۵) و (۶) محاسبه گردید (Garcera *et al.*, 2017).

$$C_{target} = \frac{V_w \times A_w}{D_t \times f} \quad (5)$$

$$C = \frac{C_{collector}}{S} \quad (6)$$

در این روابط: C_{target} : مقدار نشست سم روی هدف بر حسب میکرولیتر در هر جمکننده (پتری دیش)

A_w : قرائت دستگاه (بر حسب میکرولیتر در میلی لیتر آب)

V_w : حجم آب استفاده شده برای شستشوی پتری دیش (میلی لیتر)

D_t : غلظت ماده ردياب در سم‌پاشی

f : درصد بازیابی ماده ردياب مورد استفاده در سم‌پاشی

C : مقدار نشست سم در واحد سطح (بر حسب میکرولیتر بر سانتی‌متر مربع)

$C_{collector}$: مقدار نشست سم در هر جمکننده (بر حسب میکرولیتر در جمکننده)

S : مساحت هر پتری دیش یا جمکننده (بر حسب سانتی‌متر مربع) بود.

مقایسه و ارزیابی کیفیت سم‌پاشی در دو حالت نرخ ثابت و نرخ متغیر

برای بررسی میزان یکنواختی پاشش، از شاخص کیفیت پاشش استفاده شد که بر اساس متوسط اندازه‌ی قطرات محاسبه گردید. اندازه‌ی متوسط قطرات به دو صورت قطر میانه عددی و قطر میانه حجمی بیان می‌گردد. قطر میانه عددی در واقع قطرات پخش شده را بر حسب تعداد به دو بخش مساوی تقسیم می‌کند، در حالی که قطر میانه حجمی، میزان محلول پاشیده شده را به دو بخش تقسیم می‌کند، به گونه‌ای که حجم کل تمام قطره‌های کوچک‌تر از میانه حجمی برابر با حجم کل تمام قطرات بزرگ‌تر از قطر میانه حجمی باشد (Shafii, 2008). سپس شاخص کیفیت را می‌توان از تقسیم قطر میانه حجمی بر قطر میانه عددی محاسبه نمود. هرچه عدد به دست آمده به عدد یک نزدیک‌تر باشد، پاشش دارای کیفیت بالاتری است. به عبارتی دیگر در بهترین شرایط، قطر میانه حجمی و قطر میانه عددی برابر است که البته در عمل رسیدن به آن غیرممکن است. شاخص کیفیت پاشش بر اساس رابطه (۷) محاسبه شد (Safari, Amirsheghaghi, Loveymi, & Chagi, 2009).

$$SQI = \frac{VMD}{NMD} \quad (7)$$

در رابطه (۷)، SQI: شاخص کیفیت پاشش، VMD: قطر میانه حجمی^۳ (میلی‌متر) و NMD: قطر میانه عددی^۴ (میلی‌متر) می‌باشد.

2- Spray Quality Index (SQI)

3- Volume Median Diameter (VMD)

4- Number Median Diameter (NMD)

میانگین قطر کانوبی در راستای ردیف درختان و h ارتفاع کانوبی درخت است.

مقایسه و ارزیابی میزان پاشش و کارایی سم‌پاشی در دو حالت نرخ ثابت و نرخ متغیر

برای اندازه‌گیری میزان مصرف سم در واحد سطح، از مخلوط آب و رنگ تارترازین^۱ زرد رنگ جهت پاشش استفاده گردید. این رنگ نوعی رنگ خوارکی است که به میزان ۵-۶ گرم بر لیتر در آب حل می‌شود (Gil *et al.*, 2013). به‌منظور بررسی میزان نشست محلول سم روی کانوبی در واحد سطح، محلول آب و تارترازین بر اساس مقادیر مشخص و تنظیم شده سم‌پاشی شد و میزان نشست محلول سم روی کانوبی در نقاط مختلف (بالا، وسط و پایین کانوبی) مورد بررسی قرار گرفت. مقدار کارایی سم‌پاشی از طریق اندازه‌گیری نشست سم روی کانوبی درخت به عنوان هدف و انتشار محلول سم به نقاط غیرهدف (خارج از کانوبی) به‌دست آمد (Soheilifarid *et al.*, 2020). هدف از محاسبه مقدار کارایی، مقایسه عملکرد دو سامانه سم‌پاش نرخ ثابت و نرخ متغیر در استفاده بهینه از محلول سم بود. پس از اندازه‌گیری مقدار نشست سم در نقاط مختلف، تحلیل آماری به‌منظور مقایسه کارایی در دو نوع سم‌پاش نرخ ثابت و نرخ متغیر انجام شد. برای اندازه‌گیری مقدار نشست سم روی درخت، از کاغذهای فیلتری واتمن به عنوان جمع‌کننده استفاده شد. این کاغذها قبل از انجام عملیات سم‌پاشی با استفاده از ابزار لازم بر روی درخت نصب شدند. برای اندازه‌گیری نشست محلول سم روی زمین نیز از پتری دیش استفاده گردید. این پتری دیش‌ها به فاصله ده سانتی‌متری از هم در مسیر عمود بر جهت حرکت سم‌پاشی در زیر درخت و همچنین در فواصل کنار درخت بر روی زمین قرار گرفتند. علاوه بر پوشش عرضی پتری دیش‌ها در زیر و کنار درختان، آن‌ها تا فاصله ۳۲ متری از مسیر سم‌پاشی نیز بر روی زمین قرار گرفتند. برای اندازه‌گیری انتشارات محلول سم به هوا نیز از کاغذهای فیلتری واتمن با مساحت ۵۰/۲۴ سانتی‌متر مربع استفاده شد. این کاغذها بر روی تیرک‌های چوبی به ارتفاع ۵/۵ متر از سطح زمین و در فاصله بین درختان نصب شدند. همه‌ی پتری دیش‌ها و کاغذهای فیلتری واتمن کدگذاری شدند و پس از انجام عملیات سم‌پاشی برای انتقال به آزمایشگاه و انجام عملیات طیف‌سنجی جمع‌آوری شدند. پس از انجام عملیات سم‌پاشی، جمع‌کننده‌های مورد استفاده در آزمایشگاه با آب مقطر مورد شستشو قرار گرفتند و با استفاده از طیف‌سنج نوری، غلظت ماده ردياب اندازه‌گیری شد (Pergher, 2001). به‌منظور انجام طیف‌سنجی از دستگاه طیف‌سنج نوری (Biochrom Libra S22 UV-Vis) (چین) استفاده گردید. در این روش غلظت ماده ردياب بر اساس قرائت

1- Tartrazine



شکل ۹- دستگاه طیف‌سنج نوری مدل Biochrom Libra S22 UV-Vis

Fig.9. Biochrom Libra S22 UV-Vis optical spectrometer

تفاوت معنی‌داری بود. با توجه به سطح معنی‌داری ($Sig < 0.05$), نتیجه گرفته شد که بین میانگین مقدار نشست سم روی درختان در حالت‌های سمپاشی نرخ متغیر و نرخ ثابت و همچنین در سرعت‌های مختلف، تفاوت معنی‌داری وجود داشت. نتایج نشان داد که اثر متقابل نوع سمپاش و سرعت پیشروی سمپاشی تفاوت معنی‌داری بر مقدار نشست سم روی کانونی نداشت.

نتایج و بحث

مقدار نشست محلول سم روی درختان در حالت‌های مختلف سمپاشی

نتایج آزمون تجزیه واریانس مقدار نشست محلول سم روی درختان در یک هکتار در دو حالت سمپاشی نرخ متغیر و نرخ ثابت در جدول ۴ نشان داده شده است. نتایج نشان داد که مقدار نشست محلول سم در دو حالت سمپاشی نرخ متغیر و نرخ ثابت با هم دارای

جدول ۴- نتایج آزمون تجزیه واریانس مقدار نشست محلول سم روی درختان در حالت‌های مختلف سمپاشی
Table 4- ANOVA test results of pesticide solution deposition on trees in different spraying modes

منابع تغییرات Source of variation	df	درجه آزادی Mean square	F	P-value
سرعت پیشروی Speed	2	185547.556	7.418	.008**
نوع سمپاش Type of sprayer	1	1175555.556	46.995	.001**
نوع سمپاش * سرعت پیشروی Speed * Type of sprayer	2	31920.889	1.276	.314 ^{ns}
خطا Error	12	25014.611		
ضریب تغییرات (CV) Coefficient of Variation (CV)	0.20			

** در سطح ۱ درصد معنی‌دار است، * در سطح ۵ درصد معنی‌دار است، ns: غیر معنی‌دار

ns: Not significant, *Significant at the probability level of 5%, **Significant at the probability level of 1%

سم رو درختان در یک هکتار باغ مرکبات (پرتقال) محاسبه شد. جدول ۵ نتایج بررسی مقدار نشست محلول سم روی کانونی درختان در تیمارهای مختلف در دو حالت سمپاشی نرخ متغیر و نرخ ثابت و در سه سرعت پیشروی مختلف را نشان داده است.

پس از بررسی کاغذهای فیلتری و اتمن در آزمایشگاه، نتایج طیف‌سنجی به دست آمد و با توجه به مساحت هر کاغذ فیلتری و اتمن (۵۰/۲۴ سانتی‌مترمربع)، مقدار سطح برگ درخت، فضای اختصاصی هر درخت و تعداد درختان در یک هکتار، مقدار کل نشست محلول

جدول ۵ - نتایج بررسی مقدار نشست محلول سم روی درختان در یک هکتار در حالت‌های مختلف سمپاشی
Table 5- The results of pesticide solution deposition on trees in different spraying modes

عنوان Title	T 1	T 2	T 3	T 4	T 5	T 6
مقدار نشست روی یک کاغذ فیلتری و اتمن Deposition on one Whatman filter paper (L)	0.00039	0.00036	0.00033	0.00054	0.00051	0.00042
مقدار سطح برگ یک درخت Leaf surface of one tree (cm ²)	960395	960395	960395	960395	960395	960395
مقدار کل نشست روی یک درخت Total deposition on one tree (liters per tree)	7.48	6.79	6.39	10.39	9.72	8.07
تعداد درختان در یک هکتار Number of trees in one hectare	204	204	204	204	204	204
مقدار نشست بر درختان یک هکتار Deposition on one hectare of trees (liters per hectare)	1527 ^a	1387 ^a	1303 ^b	2121 ^a	1983 ^a	1646 ^b

به دست آمد. همچنین درصد نشست قطرات سم بر سطح پشتی برگ در بخش بیرونی کانوپی بین مقدار ۱ و ۱۴ درصد متغیر بود (Soheilifard et al., 2020).

مقدار نشست محلول سم روی زمین در حالت‌های مختلف سمپاشی

نتایج آزمون تجزیه واریانس مقدار نشست سم روی زمین در حالت‌های مختلف سمپاشی نشان داد که نوع سمپاش و سرعت پیشروی اثر معنی‌داری بر مقدار نشست سم روی زمین داشتند، ولی اثر متقابل نوع سمپاش و سرعت پیشروی اثر معنی‌داری بر مقدار نشست سم روی زمین نداشت (جدول ۶).

با توجه به نتایج جدول فوق، کمترین مقدار نشست سم (۱۳۰۳) لیتر در هکتار روی کانوپی بهترین در حالت سمپاشی نرخ متغیر در سرعت پیشروی ۴/۸ کیلومتر بر ساعت و بیشترین مقدار نشست در حالت سمپاشی نرخ ثابت در سرعت پیشروی ۱/۶ کیلومتر بر ساعت (۲۱۲۱ لیتر در هکتار) به دست آمد. در پژوهشی با تجزیه واریانس مربوط به اثر پارامترهای عملیاتی بر درصد نشست محلول سم در بخش داخلی کانوپی درخت، محققان گزارش کردند که اثرات سه‌گانه‌ی فشار، سرعت پیشروی سمپاش و نوع نازل بر مقدار نشست محلول سم معنی‌دار بود. این محققان گزارش کردند که بیشترین مقدار نشست سم (۶۷ درصد) در فشار ۶۵۰ پیاس آی و سرعت پیشروی ۱ کیلومتر بر ساعت در نازل مخروطی توخالی و کمترین میزان نشست سم (۱۲ درصد) در فشار ۴۵۰ پیاس آی و سرعت پیشروی ۱۰ کیلومتر بر ساعت برای نازل مخروطی توپر

جدول ۶ - نتایج تجزیه واریانس مقدار نشست محلول سم روی زمین در حالت‌های مختلف سمپاشی
Table 6- ANOVA test results of pesticide solution deposition on the ground per hectare in different spraying modes

منابع تغییرات Source of variation	df	درجه آزادی	میانگین مربعات Mean square	F	P-value
سرعت پیشروی	2		15438.389	5.070	.025**
نوع سمپاش	1		5730240.889	1881.887	.001**
نوع سمپاش * سرعت پیشروی	2		9641.722	3.166	.079ns
Speed * Type of sprayer					
خطا	12		3044.944		
Coefficient of Variation (CV)		ضریب تغییرات	0.52		

** در سطح ۱ درصد معنی‌دار است، * در سطح ۵ درصد معنی‌دار است، ns: غیر معنی‌دار

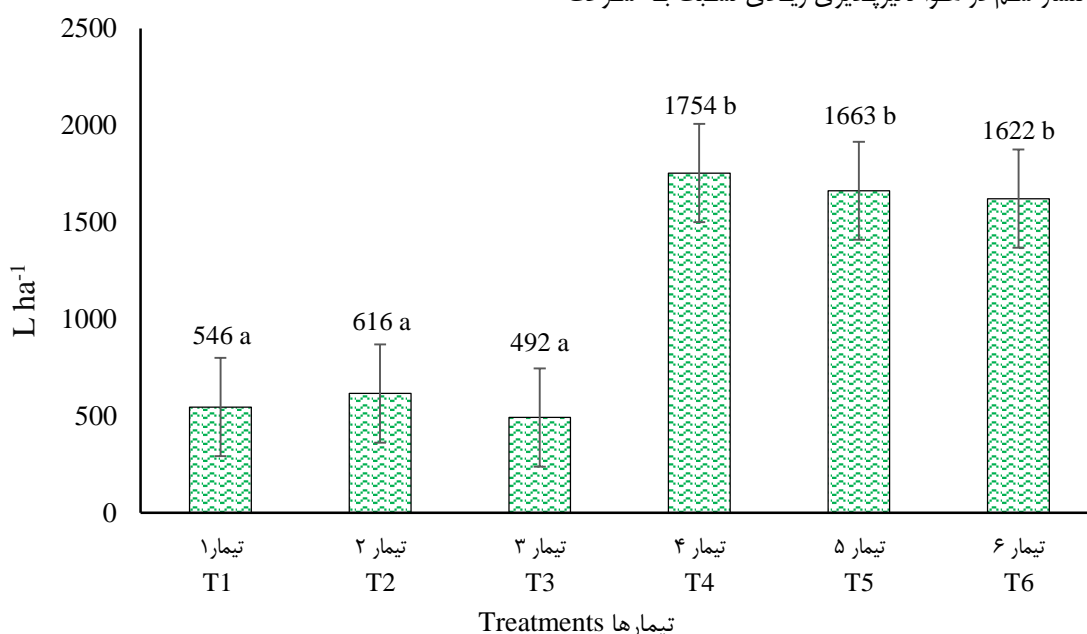
ns: Not significant, *Significant at the probability level of 5%, **Significant at the probability level of 1%

در حالت‌های مختلف سمپاشی را نشان داده است. کمترین مقدار نشست سم روی زمین در حالت سمپاشی نرخ متغیر و در سرعت پیشروی ۱/۶ کیلومتر بر ساعت (۵۴۶ لیتر بر هکتار) و بیشترین

به منظور بررسی مقدار نشست محلول سم روی زمین، طیف‌سنجی گردآورندهای نصب شده در فضای زیر کانوپی و روی زمین انجام شد. شکل ۱۰ نتایج بررسی مقدار نشست سم روی زمین

پیشروی و نوع سمپاش داشت زیرا با تغییر سرعت پیشروی همچنین تغییر نوع سمپاش، مقدار انتشار در هوا تغییرات معنی‌داری را نشان داد.

Behzadipour, Ghaseminejad (بهزادی‌پور و همکاران) Raini, Asodar, Marzban, & Abdanan Mehdizadeh, (2017) در پژوهشی گزارش کردند که افزایش فشار و سرعت پیشروی سمپاش سبب کاهش نشست و افزایش مقدار بادبردگی سم می‌شود. نتایج نشان داد که با افزایش سرعت پیشروی، فشار هوا بر روی نازل‌ها بیشتر شد و این موضوع به ریزتر شدن اندازه قطرات کمک نمود و اثر افزایشی بر روی بادبردگی ذرات و اثر کاهشی بر میزان نشست ذرات سم بر روی کانوپی داشت.



شکل ۱۰- نتایج بررسی مقدار نشست محلول سم روی زمین در یک هکتار در حالت‌های مختلف سمپاشی
Fig.10. Pesticide solution deposition on the ground per hectare in different spraying modes

جدول ۷- نتایج تجزیه واریانس مقدار انتشار سم در یک هکتار در حالت‌های مختلف سمپاشی

Table 7- ANOVA test results for airborne pesticide release per hectare in different spraying modes

منابع تغییرات Source of variation	df	درجه آزادی	میانگین مربعات Mean square	F	P-value
سرعت پیشروی Speed	2	4818.389	37.224	.001**	
نوع سمپاش Type of sprayer	1	45702.722	353.068	.001**	
نوع سمپاش * سرعت پیشروی Speed * Type of sprayer	2	1812.056	13.999	.001**	
خطا Error	12	129.444			
ضریب تغییرات (CV) Coefficient of Variation (CV)	0.34				

ns: Not significant, *Significant at the probability level of 5%, **Significant at the probability level of 1%
** در سطح ۱ درصد معنی‌دار است، * در سطح ۵ درصد معنی‌دار است، ns: غیر معنی‌دار

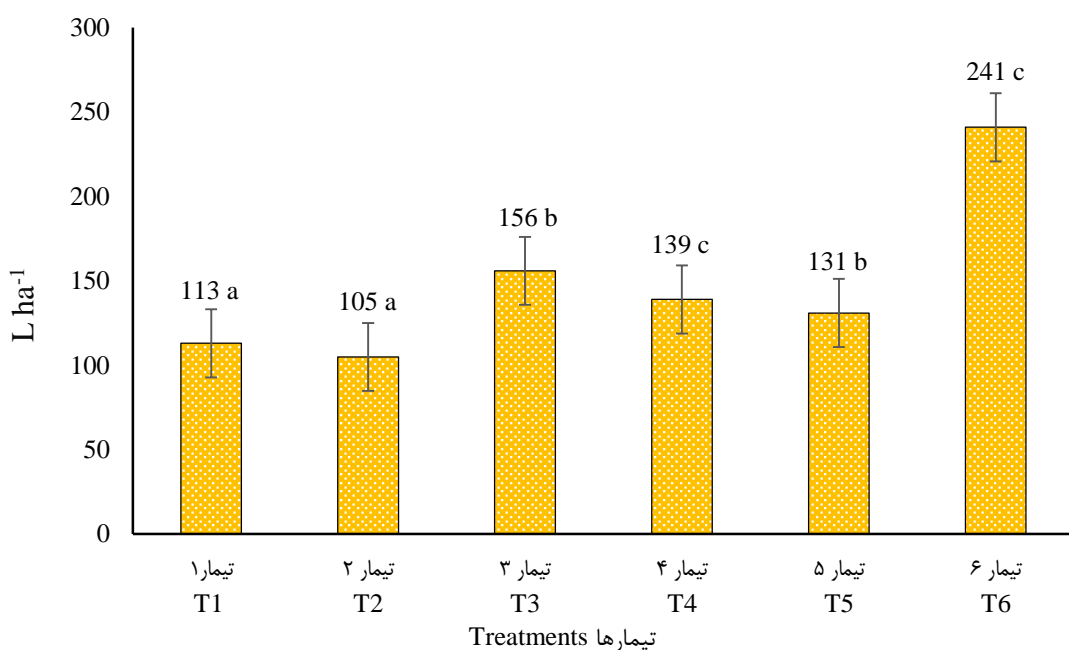
مقدار در حالت سمپاشی نرخ ثابت و در سرعت پیشروی ۱/۶ کیلومتر بر ساعت (۱۷۵۴ لیتر بر هکتار) محاسبه شد.

مقدار انتشار محلول سم در هوا در حالت‌های مختلف سمپاشی

جدول ۷ نتایج آزمون تجزیه واریانس مقدار انتشار سم در هوا در حالت‌های مختلف سمپاشی را نشان داده است. نتایج آزمون تجزیه واریانس مقدار انتشار سم در هوا نشان داد که نوع سمپاش، سرعت پیشروی سمپاشی و اثر متقابل نوع سمپاش و سرعت پیشروی اثر معنی‌داری بر مقدار انتشار سم در هوا داشتند. این موضوع نشان داد که مقدار انتشار سم در هوا تاثیرپذیری زیادی نسبت به سرعت

در تغییر چرخه بادبردگی و افزایش آن و همچنین کاهش نشست سم روی درختان داشت. با توجه به این که در سرعت پیشروی بالاتر، فرصت کافی برای نشست سم روی درخت کمتر بود و از طرف جریان هوای اطراف درخت در سرعت پیشروی بالاتر دارای تغییر بیشتری بود، لذا مقدار انتشار سم در هوا در سرعت پیشروی بالاتر افزایش نشان داد. نتایج نشان داد که در سرعت پیشروی $\frac{3}{2}$ کیلومتر بر ساعت، مقدار انتشار در هوا در کمترین حد خود بود.

شکل ۱۱ نتایج مقدار انتشار محلول سم در هوا (رانش سم) در حالت‌های مختلف سمپاشی را نشان داده است. نتایج نشان داد که کمترین مقدار انتشار سم در هوا در حالت سمپاشی نرخ متغیر و در سرعت پیشروی $\frac{1}{6}$ کیلومتر بر ساعت (۱۱۳ لیتر بر هکتار) و بیشترین مقدار در حالت سمپاشی نرخ ثابت و در سرعت پیشروی $\frac{4}{8}$ کیلومتر بر ساعت (۲۴۱ لیتر بر هکتار) اتفاق افتاد. در سمپاشی نرخ ثابت و در سرعت پیشروی $\frac{4}{8}$ کیلومتر بر ساعت، سرعت پیشروی نقش موثری



شکل ۱۱ - نتایج بررسی مقدار انتشار محلول سم در هوا در یک هکتار در حالت‌های مختلف سمپاشی

Fig.11. Airborne pesticide release per hectare in different spraying modes

معنی‌داری دارد، مطابقت داشت.

نتایج تحقیق خیری و همکاران (Khairy, Zaalouk, Rasmi, & Othman, 2020) نشان داد که با افزایش سرعت پیشروی سمپاشی، مقدار محلول سم مصرفی کاهش و با افزایش فشار سمپاشی برای انواع نازل‌ها در حالت استفاده و بدون استفاده از تکنیک بینایی ماشین نیز افزایش یافت. در حالت استفاده از تکنیک بینایی ماشین، در نازل نوع N4، فشار پاشش ۴۰۰ کیلوپاسکال و سرعت پیشروی 0.27 متر بر ثانیه، حداقل درصد صرفه‌جویی محلول سمپاشی $57/57$ درصد نسبت به حالت بدون استفاده از تکنیک بینایی ماشین بود. در حالت استفاده از تکنیک بینایی ماشین نسبت به حالت بدون بینایی و با نازل نوع N1، فشار پاشش ۲۵۰ کیلوپاسکال و سرعت پیشروی 0.12 متر بر ثانیه، حداقل درصد صرفه‌جویی در محلول سمپاشی $47/82$ درصد گزارش شد.

مقدار مصرف کل محلول سم در هکتار در حالت‌های مختلف سمپاشی

جدول ۸ نتایج آزمون تجزیه واریانس مقدار کل مصرف سم در حالت‌های مختلف سمپاشی را نشان داده است. نتایج آزمون تجزیه واریانس برای مقدار نشست سم روی درختان، انتشار در هوا و کل مصرف سم در هکتار نشان داد که مقدار این شاخص‌ها در دو حالت سمپاشی نرخ متغیر و نرخ ثابت دارای تفاوت معنی‌داری بود. با توجه به سطح معنی‌داری ($Sig < 0.05$), نتیجه گرفته شد که نوع سمپاش و سرعت پیشروی بر مقدار کل مصرف سم اثر معنی‌داری داشتند ولی اثر متقابل نوع سمپاش و سرعت پیشروی بر مقدار کل مصرف سم در هکتار معنی‌دار نبود. این نتایج با نتایج سهیلی‌فرد و همکاران (Soheilifar et al., 2020) که گزارش کردند سرعت پیشروی بر درصد نشست محلول سم اثر

جدول ۸- نتایج آزمون تجزیه واریانس مقدار کل مصرف سم در حالت‌های مختلف سمپاشی
Table 8- ANOVA test results for the total pesticide consumption in different spraying modes

منابع تغییرات Source of variation	df	درجه آزادی Degree of freedom	میانگین مربعات Mean square	F	P-value
سرعت پیشروی	2	274440.056	7.230	.009**	
نوع سمپاش	1	13629420.500	359.046	.001**	
نوع سمپاش*سرعت پیشروی	2	56405.167	1.486	.265ns	
Speed * Type of sprayer					
خطا	12	37960.111			
Coefficient of Variation (CV)		0.32			

** در سطح ۱ درصد معنی‌دار است، * در سطح ۵ درصد معنی‌دار است، ns: غیر معنی‌دار

ns: Not significant, *Significant at the probability level of 5%, **Significant at the probability level of 1%

کوئینگهام و هاردن (Cunningham & Harden, 1998) نیز در تلاش برای کاهش مقدار حجم سم مصرفی در باغات مركبات، مقدار نشست سموم روی کانوپی و همچنین مقدار هدر رفت آن‌ها از سطح کانوپی را بررسی نمودند. این محققان مقدار محلول سم بهینه از جهت نشست روی هدف و میزان هدر رفت را برابر با ۲۰۰۰ لیتر در هکتار تعیین کردند، بدین صورت که با افزایش مقدار محلول سم مصرفی در هکتار، میزان هدر رفت کاسته می‌شود. همچنین در حالت بهینه، نشست سم روی برگ درخت کاسته می‌شود. همچین در سطح کاربرد تحقیق حاضر نشان داد که در ترکیب تیماری حالت نرخ متغیر و سرعت پیشروی ۴/۸ کیلومتر بر ساعت، کمترین میزان مصرف سم ۱۹۵۲ لیتر در هکتار) برای یک هکتار باع مركبات اتفاق افتاد. این در حالی است که در حالت سمپاشی نرخ ثابت در سرعت ۴/۸ کیلومتر بر ساعت، مقدار مصرف سم ۳۵۰۹ لیتر در هکتار بود.

جدول ۹ نتایج بررسی مقدار مصرف کل سم در هکتار و همچنین نشست روی درخت، زمین و انتشار در هوا در حالت‌های مختلف سمپاشی را نشان داده است. نتایج نشان داد که کمترین مقدار مصرف سم در حالت سمپاشی نرخ متغیر و در سرعت پیشروی ۱/۶ کیلومتر بر ساعت (۱۹۵۲ لیتر بر هکتار) و بیشترین مقدار مصرف سم در حالت سمپاشی نرخ ثابت در سرعت ۱/۶ کیلومتر بر ساعت (۴۰۱۴ لیتر بر هکتار) به دست آمد. بیشترین مقدار صرفه‌جویی ناشی از کاربرد فناوری نرخ متغیر در سمپاشی باغات، در سرعت پیشروی ۱/۶ کیلومتر بر ساعت (۴۶ درصد) محاسبه شد. میانگین مقدار نشست سم در همه تیمارها در حالت سمپاشی نرخ ثابت نسبت به نرخ متغیر بیشتر بود. در پژوهشی کارمان و همکاران (Carman, Iwata, & Gunther, 1977) مقدار نشست آفتکش‌ها را بر روی بخش‌های مختلف درختان و خاک بررسی کردند. بر اساس نتایج به دست‌آمده، میزان نشست محلول سم روی کانوپی درخت، ۶۰ تا ۷۵ درصد تعیین شد.

جدول ۹- مقدار کل مصرف و درصد صرفه‌جویی سم در هکتار در حالت‌های مختلف سمپاشی
Table 9- The total amount of consumption and percentage of saving of pesticide per hectare in different modes of spraying

عنوان Title	تیمار ۱ T 1	تیمار ۲ T 2	تیمار ۳ T 3	تیمار ۴ T 4	تیمار ۵ T 5	تیمار ۶ T 6
جمع کل نشست روی درخت، زمین و انتشار در هوا Sum of total deposition on trees, ground, and air emissions (L ha ⁻¹)	2185	2107	1952	4014	3777	3509
کاهش مصرف نسبت به نرخ ثابت Reduction in consumption compared to fixed rate (liters)	1829	1670	1557			
درصد صرفه‌جویی Savings percentage	46	44	44			

جدول ۱۱ نتایج بررسی مقدار کارایی در حالت‌های مختلف سمپاشی را نشان داده است. کمترین و بیشترین مقدار کارایی به ترتیب در حالت سمپاشی نرخ متغیر در سرعت پیشروی ۱/۶ کیلومتر بر ساعت (۰/۷۰) و سمپاشی نرخ ثابت با سرعت پیشروی ۴/۸ کیلومتر بر ساعت (۰/۴۷) به دست آمد. شن و همکاران (Shen et al., 2017) با توسعه یک سمپاش نرخ متغیر و دارای هدایت لیزری به منظور کنترل نرخ جریان محلول سم خروجی متناسب با اندازه، شکل و تراکم کانونی در زمان واقعی گزارش کردند که سمپاشی نرخ متغیر توانست ۱۲/۱٪ تا ۴۳/۳٪ از مقدار سم مصرفی در حالت سمپاشی نرخ ثابت را مصرف کند و سبب صرفه‌جویی قابل توجهی در مصرف سم شود.

مقدار کارایی مصرف سم در هکتار در حالت‌های مختلف سمپاشی

جدول ۱۰ نتایج آزمون تجزیه واریانس درصد کارایی پاشش در حالت‌های مختلف سمپاشی را نشان داده است. نتایج نشان داد که نوع سمپاش، سرعت پیشروی و همچنین اثر متقابل نوع سمپاش و سرعت پیشروی اثر معنی‌داری بر کارایی پاشش داشت. بهزادی‌پور و همکاران (Behzadipour et al., 2017) در پژوهشی بیان کردند که با کاهش فشار سمپاشی از ۳۵ به ۱۰ با مقدار بادبردگی کاهش یافت. این محققان گزارش کردند که با کاهش فشار سمپاشی از ۳۵ به ۱۰ بار مقدار نشست سم از ۷۷/۴ لیتر بر هکتار به ۱۴۲/۳ لیتر بر هکتار افزایش یافت.

جدول ۱۰ - نتایج آزمون تجزیه واریانس درصد کارایی سمپاشی در حالت‌های مختلف
Table 10- ANOVA test results of spraying efficiency percentage in different modes

منابع تغییرات Source of variation	df	درجه آزادی Degree of freedom	میانگین مربعات Mean square	F	P-value
سرعت پیشروی	2	.002	5.890	.017**	
نوع سمپاش	1	.138	403.735	.001**	
نوع سمپاش * سرعت پیشروی	2	.001	4.200	.041**	
Speed * Type of sprayer					
خطا	12	.000			
Coefficient of Variation (CV)		0.16			
ضریب تغییرات					

** در سطح ۱ درصد معنی‌دار است، * در سطح ۵ درصد معنی‌دار است، ns: غیر معنی‌دار
ns: Not significant, *Significant at the probability level of 5%, **Significant at the probability level of 1%

جدول ۱۱ - مقدار کارایی سمپاشی در حالت‌های مختلف سمپاشی
Table 11- Spraying efficiency in different spraying modes

عنوان Title	تیمار ۱ تیمار ۲ تیمار ۳ تیمار ۴ تیمار ۵ تیمار ۶					
	T 1	T 2	T 3	T 4	T 5	T 6
مقدار کارایی مصرف سم در هکتار (درصد)	70	66	67	53	52	47
The efficiency of the use of Pesticide per hectare (percentage)						

سمپاشی، نوع سمپاش از نظر نرخ متغیر و نرخ ثابت بودن نیز عامل اثر معنی‌داری بر کیفیت پاشش نداشت. ارزیابی دو پارامتر قطر میانه عددی و قطر میانه حجمی نیز نشان داد که بین تیمارهای مختلف اثر معنی‌داری از این نظر وجود نداشت. بهزادی‌پور و همکاران (Behzadipour et al., 2017) با ارزیابی سمپاش توربولینر گزارش کردند که کاهش فشار سمپاشی باعث افزایش قطر و نیز افزایش حجم قطرات گردید که متناسب با افزایش حجم قطرات، افزایش قطر حجمی و قطر میانه عددی حاصل شد و به طور کلی با افزایش فشار سمپاشی، قطر قطرات و در نتیجه شاخص کیفیت پاشش کاهش

نتایج مقایسه و ارزیابی کیفیت سمپاشی در دو حالت نرخ ثابت و نرخ متغیر

جدول ۱۲ نتایج آزمون تجزیه واریانس مقدار کیفیت سمپاشی پاشش در حالت‌های مختلف سمپاشی را نشان داده است. با توجه به نتایج، سرعت پیشروی، نوع سمپاش و اثر متقابل این دو عامل اثر معنی‌داری بر شاخص کیفیت پاشش نداشت. نتایج نشان داد با توجه به ثابت بودن نوع نازل‌ها و همچنین فشار یکسان سمپاشی در تیمارهای مختلف، تغییر سرعت پیشروی سمپاشی اثر معنی‌داری بر کیفیت پاشش نداشت. همچنین با توجه به یکسان بودن نوع نازل‌های

برای تخمین خصوصیات سمپاشی از کاغذهای حساس به آب استفاده شد. نتایج نشان داد که سمپاشی با استفاده از نازل توربو باعث پوشش ۴۷/۴۱ درصدی سمپاشی شد و ۱۷۱ قطره در سانتی‌متر مربع با ۲۶ درصد صرف‌جویی در مصرف سم را در پی داشت. علاوه بر این نتایج نشان داد که میزان پوشش سم توسط نازل توربو بیشتر از نازل مخروطی بود. همچنین فناوری پاشش مبتنی بر حسگر اولتراسونیک به خوبی توانست از سمپاشی در ناحیه بدون کانوپی خودداری کند.

جدول ۱۳ نتایج آزمون تجزیه واریانس برای شاخص‌های قطر میانه عددی، قطر میانه حجمی و درصد پوشش را نشان داده است. نتایج نشان داد که شاخص درصد پوشش کاغذهای حساس به آب نیز در تیمارهای مختلف اثر معنی‌داری نداشت.

یافته سهیلی‌فرد و همکاران (Soheilifarid *et al.*, 2020) نیز گزارش کردند که نوع نازل اثر معنی‌داری بر کیفیت سمپاشی نداشت و شاخص کیفیت پاشش در نازل‌های مخروطی توخالی و مخروطی توپر ۱/۶۳ به دست آمد. این محققان بیان کردند که اثر سه‌گانه‌ی نازل، فشار و سرعت پیشروی سمپاشی بر قطر میانه حجمی نیز اثر معنی‌داری نداشت و تنها اثر اصلی فشار سمپاشی بر کیفیت سمپاشی معنی‌دار بود. اثرات نوع نازل و سرعت پیشروی سمپاش نیز معنی‌دار نبودند.

تواری و همکاران (Tewari *et al.*, 2018) در پژوهشی کاربرد یک سامانه فناوری پاشش خودکار مبتنی بر حسگر اولتراسونیک برای سمپاشی در باغ‌ها را با دو نوع نازل توربو و مخروطی بررسی کردند.

جدول ۱۲ - نتایج آزمون تجزیه واریانس کیفیت سمپاشی در حالت‌های مختلف
Table 12- ANOVA test results of spraying quality in different modes

منابع تغییرات Source of variation	df	درجه آزادی Degree of freedom	میانگین مربعات Mean square	F	P-value
سرعت پیشروی	2		35.962	1.723	.220 ^{ns}
نوع سمپاش	1		1.773	.085	.776 ^{ns}
نوع سمپاش * سرعت پیشروی	2		4.168	.200	.822 ^{ns}
Speed * Type of sprayer					
خطا	12		20.869		
Coefficient of Variation (CV)			103.1		
ضریب تغییرات (CV)					

** در سطح ۱ درصد معنی‌دار است، * در سطح ۵ درصد معنی‌دار است، ns: غیر معنی‌دار

ns: Not significant, *Significant at the probability level of 5%, **Significant at the probability level of 1%

به ۱۳/۵ کیلومتر بر ساعت، قطر میانه حجمی و قطر میانه عددی کاهش یافت و متناسب با افزایش سرعت پیشروی، فشار هوا روی نازل‌ها افزایش و سبب ریزتر شدن اندازه، قطر و حجم قطرات گردید ولی افزایش فشار سبب کاهش شاخص کیفیت پاشش گردید. کاهش قطر میانه عددی و قطر میانه حجمی می‌تواند پتانسیل بادبردگی سوموم را افزایش دهد. بالسری و همکاران (Balsari, Marucco, & Tamagnone, 2014) نیز جریان هوای ایجادشده توسط سمپاش‌های توربینی را یکی از عوامل موثر بر میزان بادبردگی عنوان کردند. بنابراین نتایج این تحقیق با نتایج گزارش شده توسط دیگر محققان نیز مطابقت داشت و از آنجا که در پژوهش حاضر نوع نازل‌ها و فشار سمپاشی در تیمارهای مختلف یکسان بود، لذا سرعت پیشروی به تنها یکی از اثربارهای متفاوت نبود. این نتایج نیز فقط جریان سمپاشی بین فواصل درختان را قطع نمود و این امر (با توجه به ثابت بودن فشار سمپاشی و نوع نازل‌ها) اثری در تغییر کیفیت و درصد پاشش نداشت.

نتایج مقایسه میانگین شاخص کیفیت پاشش نشان داد که تفاوت معنی‌داری بین تیمارها وجود نداشت. تیمار سوم یعنی سمپاشی با سمپاش نرخ متغیر در سرعت ۴/۸ کیلومتر بر ساعت، بهترین کیفیت پاشش را دارا بود. در سمپاشی با سرعت پیشروی ۱/۶ کیلومتر بر ساعت در هر دو حالت سمپاشی نرخ متغیر و نرخ ثابت، شاخص کیفیت پاشش بدترین شرایط را دارا بود. ناصری و همکاران (Naseri, Abbaspour Fard, Chaji, & Heydarzadeh, 2007) در پژوهشی اثر افزایش سرعت پیشروی را در سمپاش توربولینز بررسی کردند و نتیجه گرفتند که با افزایش سرعت پیشروی در سه سطح ۸/۱۲، ۵/۲۰، ۲/۴۳ کیلومتر بر ساعت، قطر میانه حجمی به ترتیب ۰/۹۸ و ۰/۷۵ میلی‌متر و قطر میانه عددی به ترتیب ۰/۲۶ و ۰/۱۷۵ میلی‌متر کاهش یافت. این محققان گزارش کردند که در سمپاش توربولینز، بهترین شاخص کیفیت پاشش در سرعت پیشروی ۵/۲ کیلومتر بر ساعت اتفاق افتاد که با نتایج این تحقیق همخوانی دارد. بهزادی‌پور و همکاران (Behzadipour *et al.*, 2017) نیز گزارش کردند که با افزایش سرعت پیشروی سمپاشی از ۹

جدول ۱۳ - نتایج آزمون تجزیه واریانس شاخص‌های قطر میانه عددی، قطر میانه حجمی و درصد پوشش در حالت‌های مختلف

Table 13- ANOVA test results of numerical mean diameter, volume mean diameter, and coverage percentage in different modes

	منابع تغییرات Source of variation	درجه آزادی df	میانگین مربعات Mean square	F	P-value
سرعت پیشروی Speed	قطر میانه عددی Number Median Diameter	2	58.783	1.259	.319 ns
	قطر میانه حجمی Volume Median Diameter	2	118.757	2.444	.129 ns
	درصد پوشش Coverage percentage	2	7.404	.786	.478 ns
نوع سمپاش Type of sprayer	قطر میانه عددی Number Median Diameter	1	68.992	1.477	.248 ns
	قطر میانه حجمی Volume Median Diameter	1	104.835	2.157	.168 ns
	درصد پوشش Coverage percentage	1	8.736	.928	.355 ns
نوع سمپاش * سرعت پیشروی Speed * Type of sprayer	قطر میانه عددی Number Median Diameter	2	152.718	3.270	.074 ns
	قطر میانه حجمی Volume Median Diameter	2	215.075	4.426	.036 ns
	درصد پوشش Coverage percentage	2	20.334	2.159	.158 ns
خطا Error	قطر میانه عددی Number Median Diameter	12	46.706		
	قطر میانه حجمی Volume Median Diameter	12	48.598		
	درصد پوشش Coverage percentage	12	9.418		
ضریب تغییرات Coefficient of Variation (CV)	قطر میانه عددی Number Median Diameter	68.5%			
	قطر میانه حجمی Volume Median Diameter	59.9%			
	درصد پوشش Coverage percentage	83.1%			

ns: در سطح ۱ درصد معنی‌دار است، * در سطح ۵ درصد معنی‌دار است، ** غیر معنی‌دار

ns: Not significant, *Significant at the probability level of 5%, **Significant at the probability level of 1%

کیلومتر بر ساعت)، صرفه‌جویی ۴۶ درصدی و کارایی ۷۰ درصدی سمپاشی را به همراه داشت. در همه‌ی تیمارهای مورد بررسی، نوع سمپاش و سرعت پیشروی سمپاشی اثر معنی‌داری بر تغییرات مقدار نشست سم داشتند ولی اثر متقابل نوع سمپاش و سرعت پیشروی سمپاشی اثر معنی‌داری بر مقدار نشست سم روی درختان و کل مصرف سم در هکتار نداشت. درصد پوشش محلول سم روی هدف در تیمارهای مختلف نیز تفاوت معنی‌داری نداشت و بهترین کیفیت پاشش در سمپاشی نرخ متغیر با سرعت پیشروی ۴/۸ کیلومتر بر ساعت اتفاق افتاد. با استفاده از سمپاش نرخ متغیر ضمن صرفه‌جویی در مصرف سموم شیمیایی و هزینه‌های سمپاشی، مقدار انتشار سموم که سبب آلایندگی‌های زیستمحیطی می‌شود نیز کاهش خواهد یافت. پیشنهاد می‌شود در تحقیقات آینده سامانه‌ی نرخ متغیر مبتنی بر

نتیجه‌گیری

فن‌آوری‌های نوین نقش مهمی در افزایش بهره‌وری بخش کشاورزی دارند و در صورت عدم استفاده از این فن‌آوری‌ها چالش‌های مربوط به پایداری تولید در آینده بیش از پیش افزایش می‌باشد. یکی از عملیات مهم در تولید محصولات کشاورزی، مرحله سمپاشی است. در این پژوهش یک سمپاش نرخ ثابت به نرخ متغیر توسعه داده شد و ارزیابی گردید. توسعه‌ی این سمپاش از نرخ ثابت به نرخ متغیر مبتنی بر پردازش تصویری، استفاده از حسگر اولتراسونیک و شیر برقی نرخ متغیر بود. نتایج ارزیابی و مقایسه این دو سمپاش نشان داد که سمپاش نرخ متغیر توانست با تشخیص حجم کانوپی در زمان واقعی مقدار پاشش سم را کنترل کند و در بهترین حالت (سرعت ۱/۶

مشارکت نویسنده‌گان

رستم فتحی: جمع‌آوری داده‌ها، تحلیل آماری، پردازش آماری، استخراج و تهییه متن مقاله

محمود قاسمی‌نژاد رائینی: نظارت و مدیریت، مفهوم‌سازی، ویرایش متن

سامان آبدانان مهدی‌زاده: خدمات نرم‌افزاری، ویرایش متن
مرتضی تاکی: خدمات نرم‌افزاری، مفهوم‌سازی، ویرایش متن
مصطفی مردانی نجف‌آبادی: ویرایش متن

نازل‌های مستقل توسعه داده شود تا بتوان پاسخ لحظه‌ای در هر نازل را کنترل نمود.

سپاسگزاری

این مقاله بخشنی از رساله دکتری گروه مهندسی مکانیزاسیون و ماشین‌های کشاورزی از دانشگاه علوم کشاورزی و منابع طبیعی خوزستان می‌باشد. با تشکر از معاونت پژوهشی دانشگاه که حمایت مالی این پژوهش را بر عهده گرفت.

تعارض منافع

هیچ‌گونه تعارض منافع بین نویسنده‌گان این مقاله وجود ندارد.

References

- Asaei, H., Jafari, A., & Loghavi, M. (2019). Site-specific orchard sprayer equipped with machine vision for chemical usage management. *Computers and Electronics in Agriculture*, 162, 431-439. <https://doi.org/10.1016/j.compag.2019.04.040>
- Balsari, P., Marucco, P., & Tamagnone, M. (2007). A test bench for the classification of boom sprayers according to drift risk. *Crop Protection*, 26(10), 1482-1489. <https://doi.org/10.1016/j.cropro.2006.12.012>
- Baran, M. F., Lüle, F., & Gökdöđan, O. (2017). Energy input-output analysis of organic grape production: A case study from Adiyaman province. *Erwerbs-Obstbau*, 59(4), 275-279. <https://doi.org/10.1007/s10341-017-0322-1>
- Behzadipour, F., Ghaseminejad Raini, M., Asodar, M. A., Marzban, A., & Abdanan Mehdizadeh, S. (2017). Evaluation of technical factors of agricultural turbine spraying on spraying quality and droplet diameter by image processing. *Jurnal of Agricultural Machinery*, 7(1), 61-72. (in Persian). <https://doi.org/10.22067/jam.v7i1.48194>
- Berenstein, R., Shahar, O. B., Shapiro, A., & Edan, Y. (2010). Grape clusters and foliage detection algorithms for autonomous selective vineyard sprayer. *Intelligent Service Robotics*, 3, 233-243. <https://doi.org/10.1007/s11370-010-0078-z>
- Carman, G. E., Iwata, Y., & Gunther, F. A. (1977). Pesticide deposition on citrus orchard soil resulting from spray drift and runoff. *Bulletin of Environmental Contamination and Toxicology*, 18, 706-710.
- Carvalho, F. P. (2017). Pesticides, environment, and food safety. *Food and Energy Security*, 6(2), 48-60. <https://doi.org/10.1002/fes3.108>
- Chen, L., Wallhead, M., Reding, M., Horst, L., & Zhu, H. (2020). Control of insect pests and diseases in an Ohio fruit farm with a laser-guided intelligent sprayer. *HortTechnology*, 30(2), 168-175. <https://doi.org/10.21273/HORTTECH04497-19>
- Chen, Y., Ozkan, H. E., Zhu, H., Derksen, R. C., & Krause, C. R. (2013). Spray deposition inside tree canopies from a newly developed variable-rate air-assisted sprayer. *Transactions of the ASABE*, 56(6), 1263-1272.
- Ciacci, L., & Passarini, F. (2020). Life cycle assessment (LCA) of environmental and energy systems. *Energies*, 13(22), 5892. <https://doi.org/10.3390/en13225892>
- Cobbenhagen, A. T. J. R., Antunes, D. J., van de Molengraft, M. J. G., & Heemels, W. P. M. H. (2021). Opportunities for control engineering in arable precision agriculture. *Annual Reviews in Control*, 51, 47-55. <https://doi.org/10.1016/j.arcontrol.2021.01.001>
- Cunningham, G. P., & Harden, J. (1998). Reducing spray volumes applied to mature citrus trees. *Crop Protection*, 17(4), 289-292. [https://doi.org/10.1016/S0261-2194\(98\)00007-6](https://doi.org/10.1016/S0261-2194(98)00007-6)
- Dou, H., Zhang, C., Li, L., Hao, G., Ding, B., Gong, W., & Huang, P. (2018, September). Application of variable spray technology in agriculture. In *IOP Conference Series: Earth and Environmental Science* (Vol. 186, No. 5, p. 012007). IOP Publishing. <https://doi.org/10.1088/1755-1315/186/5/012007>
- El Bilali, H., Callenius, C., Strassner, C., & Probst, L. (2019). Food and nutrition security and sustainability transitions in food systems. *Food and Energy Security*, 8(2), e00154. <https://doi.org/10.1002/fes3.154>
- Escolà, A., Rosell-Polo, J. R., Planas, S., Gil, E., Pomar, J., Camp, F., ... & Solanelles, F. (2013). Variable rate sprayer. Part 1—Orchard prototype: Design, implementation and validation. *Computers and Electronics in Agriculture*, 95, 122-135. <https://doi.org/10.1016/j.compag.2013.02.004>
- Garcerá, C., Moltó, E., & Chueca, P. (2017). Spray pesticide applications in Mediterranean citrus orchards:

- Canopy deposition and off-target losses. *Science of the Total Environment*, 599, 1344-1362. <https://doi.org/10.1016/j.scitotenv.2017.05.029>
17. Gil, E., & Escolà, A. (2009). Design of a decision support method to determine volume rate for vineyard spraying. *Applied Engineering in Agriculture*, 25(2), 145-151. <https://doi.org/10.13031/2013.26323>
 18. Gil, E., Llorens, J., Llop, J., Fàbregas, X., & Gallart, M. (2013). Use of a terrestrial LIDAR sensor for drift detection in vineyard spraying. *Sensors*, 13(1), 516-534. <https://doi.org/10.3390/s130100516>
 19. Gil, E., Llorens, J., Llop, J., Fàbregas, X., Escolà, A., & Rosell-Polo, J. R. (2013). Variable rate sprayer. Part 2–Vineyard prototype: Design, implementation, and validation. *Computers and Electronics in Agriculture*, 95, 136-150. <https://doi.org/10.1016/j.compag.2013.02.010>
 20. Ilica, A., & Boz, A. F. (2018). Design of a nozzle-height control system using a permanent magnet tubular linear synchronous motor. *Journal of Agricultural Sciences*, 24(3), 374-385. <https://doi.org/10.15832/ankutbd.456662>
 21. Kasner, E. J., Fenske, R. A., Hoheisel, G. A., Galvin, K., Blanco, M. N., Seto, E. Y., & Yost, M. G. (2018). Spray drift from a conventional axial fan airblast sprayer in a modern orchard work environment. *Annals of Work Exposures and Health*, 62(9), 1134-1146. <https://doi.org/10.1093/annweh/wxy082>
 22. Khairy, M. F. A., Zaalouk, A. K., Rasmi, A. S., & Othman, Y. K. (2020). A prototype for spraying pesticide using vision technique. *Misr Journal of Agricultural Engineering*, 37(3), 249-262. <https://doi.org/10.21608/mjae.2020.103153>
 23. Landers, A. J. (2008). Innovative technologies for the precise application of pesticides in orchards and vineyards. *International Advances in Pesticide Application*, Robinson College, Cambridge, UK, 9-11 January 2008, 411-416.
 24. Lindgren, E., Harris, F., Dangour, A. D., Gasparatos, A., Hiramatsu, M., Javadi, F., ... & Haines, A. (2018). Sustainable food systems—a health perspective. *Sustainability science*, 13, 1505-1517. <https://doi.org/10.1007/s11625-018-0586-x>
 25. Llorens, J., Gil, E., Llop, J., & Escolà, A. (2010). Variable rate dosing in precision viticulture: Use of electronic devices to improve application efficiency. *Crop Protection*, 29(3), 239-248. <https://doi.org/10.1016/j.cropro.2009.12.022>
 26. Mahmud, M. S., Zahid, A., He, L., Choi, D., Krawczyk, G., Zhu, H., & Heinemann, P. (2021). Development of a LiDAR-guided section-based tree canopy density measurement system for precision spray applications. *Computers and Electronics in Agriculture*, 182, 106053. <https://doi.org/10.1016/j.compag.2021.106053>
 27. Mamane, A., Raherison, C., Tessier, J. F., Baldi, I., & Bouvier, G. (2015). Environmental exposure to pesticides and respiratory health. *European Respiratory Review*, 24(137), 462-473. <https://doi.org/10.1183/16000617.00006114>
 28. Méndez-Vázquez, L. J., Lira-Noriega, A., Lasa-Covarrubias, R., & Cerdeira-Estrada, S. (2019). Delineation of site-specific management zones for pest control purposes: Exploring precision agriculture and species distribution modeling approaches. *Computers and Electronics in Agriculture*, 167, 105101. <https://doi.org/10.1016/j.compag.2019.105101>
 29. Mooney, D. F., Larson, J. A., Roberts, R. K., & English, B. C. (2009). *Economics of the variable rate technology investment decision for agricultural sprayers* (No. 1369-2016-108610). <https://doi.org/10.22004/ag.econ.46860>
 30. Naseri, M., Abbaspour Fard, M. H., Chaji, H., & Heydarzadeh, A. (2007). Analysis of the effect of nozzle orifice diameter, pump pressure and tractor forward speed on spraying uniformity in agricultural turbine sprayer (turboliner). The 5th National Congress of Agricultural Machines and Mechanization of Iran. Ferdasi University of Mashhad. P. 9. (in Persian).
 31. Oberti, R., Marchi, M., Tirelli, P., Calcante, A., Iriti, M., Tona, E., ... & Ulbrich, H. (2016). Selective spraying of grapevines for disease control using a modular agricultural robot. *Biosystems Engineering*, 146, 203-215. <https://doi.org/10.1016/j.biosystemseng.2015.12.004>
 32. Pergher, G. (2001). Recovery rate of tracer dyes used for spray deposit assessment. *Transactions of the ASAE*, 44(4), 787. <https://doi.org/10.13031/2013.6240>
 33. Pimentel, D., & Lehman, H. (Eds.). (1993). *The pesticide question: Environment, economics and ethics*. Springer Science & Business Media.
 34. Rathnayake, A. P., Chandel, A. K., Schrader, M. J., Hoheisel, G. A., & Khot, L. R. (2021). Spray patterns and perceptive canopy interaction assessment of commercial airblast sprayers used in Pacific Northwest perennial specialty crop production. *Computers and Electronics in Agriculture*, 184, 106097. <https://doi.org/10.1016/j.compag.2021.106097>
 35. Rodrigo, M. A., Oturan, N., & Oturan, M. A. (2014). Electrochemically assisted remediation of pesticides in soils and water: a review. *Chemical Reviews*, 114(17), 8720-8745. <https://doi.org/10.1021/cr500077e>
 36. Safari, M., Amirsheghaghi, F., Loveymi, N., & Chagi, H. (2009). Assessment of common sprayer used in wheat fields. *Karaj Agricultural Engineering Research Institute Publications*, 10(4), 1-12. (In Persian).
 37. Shafii, A. 2008. Principles of agricultural machinery. Tehran University Publications. Third edition. 498 pages (in

Farsi).

38. Shen, Y., Zhu, H., Liu, H., Chen, Y., & Ozkan, E. (2017). Development of a laser-guided, embedded-computer-controlled, air-assisted precision sprayer. *Transactions of the ASABE*, 60(6), 1827-1838. <https://doi.org/10.13031/trans.12455>
39. Soheilifarid, F., Marzban, A., Raini, M. G., Taki, M., & van Zelm, R. (2020). Chemical footprint of pesticides used in citrus orchards based on canopy deposition and off-target losses. *Science of the Total Environment*, 732, 139118. <https://doi.org/10.1016/j.scitotenv.2020.139118>
40. Solanelles, F., Escolà, A., Planas, S., Rosell, J. R., Camp, F., & Gràcia, F. (2006). An electronic control system for pesticide application proportional to the canopy width of tree crops. *Biosystems Engineering*, 95(4), 473-481. <https://doi.org/10.1016/j.biosystemseng.2006.08.004>
41. Springmann, M., Clark, M., Mason-D'Croz, D., Wiebe, K., Bodirsky, B. L., Lassaletta, L., ... & Willett, W. (2018). Options for keeping the food system within environmental limits. *Nature*, 562(7728), 519-525. <https://doi.org/10.1038/s41586-018-0594-0>
42. Subramanian, V., Burks, T. F., & Arroyo, A. A. (2006). Development of machine vision and laser radar based autonomous vehicle guidance systems for citrus grove navigation. *Computers and Electronics in Agriculture*, 53(2), 130-143. <https://doi.org/10.1016/j.compag.2006.06.001>
43. Taheri-Rad, A., Khojastehpour, M., Rohani, A., Khoramdel, S., & Nikkhah, A. (2017). Energy flow modeling and predicting the yield of Iranian paddy cultivars using artificial neural networks. *Energy*, 135, 405-412. <https://doi.org/10.1016/j.energy.2017.06.089>
44. Tewari, V. K., Chandel, A. K., Nare, B., & Kumar, S. (2018). Sonar sensing predicated automatic spraying technology for orchards. *Current Science*, 115(6), 1115-1123.
45. Yadav, G. S., Das, A., Lal, R., Babu, S., Datta, M., Meena, R. S., ... & Singh, R. (2019). Impact of no-till and mulching on soil carbon sequestration under rice (*Oryza sativa* L.)-rapeseed (*Brassica campestris* L. var. rapeseed) cropping system in hilly agro-ecosystem of the Eastern Himalayas, India. *Agriculture, Ecosystems & Environment*, 275, 81-92. <https://doi.org/10.1016/j.agee.2019.02.001>
46. Zaman, Q. U., Esau, T. J., Schumann, A. W., Percival, D. C., Chang, Y. K., Read, S. M., & Farooque, A. A. (2011). Development of prototype automated variable rate sprayer for real-time spot-application of agrochemicals in wild blueberry fields. *Computers and Electronics in Agriculture*, 76(2), 175-182. <https://doi.org/10.1016/j.compag.2011.01.014>
47. Zürey, Z., Balci, S., & Sabancı, K. (2020). Automatic nozzle control system with ultrasonic sensor for orchard sprayers. *European Journal of Technique (EJT)*, 10(2), 264-273. <https://doi.org/10.36222/ejt.715015>